

บทที่ 3

กลไกการถ่ายเทนวลด

จากที่ได้กล่าวข้อดีของระบบของเยื่อแผ่นเหลวที่พยุงด้วยเส้นใยกลวง โดยเฉพาะเรื่องของการถ่ายเทนวลดในบทที่ 2 ดังนั้นในบทนี้จะอธิบายกลไกการถ่ายเทนวลด (mass transport mechanism) แบบต่างๆ ที่เกิดขึ้นในกระบวนการเยื่อแผ่นเหลว ต่อจากนี้จะอธิบายการถ่ายเทนวลดแบบควบคุมคุณภาพที่เกี่ยวข้องโดยจะเน้นกรณีการถ่ายเทนวลดแบบส่วนทาง

3.1 กลไกการถ่ายเทนวลด

กลไกการถ่ายเทนวลดผ่านเยื่อแผ่นเหลว แบ่งได้เป็น 5 ขั้นตอน

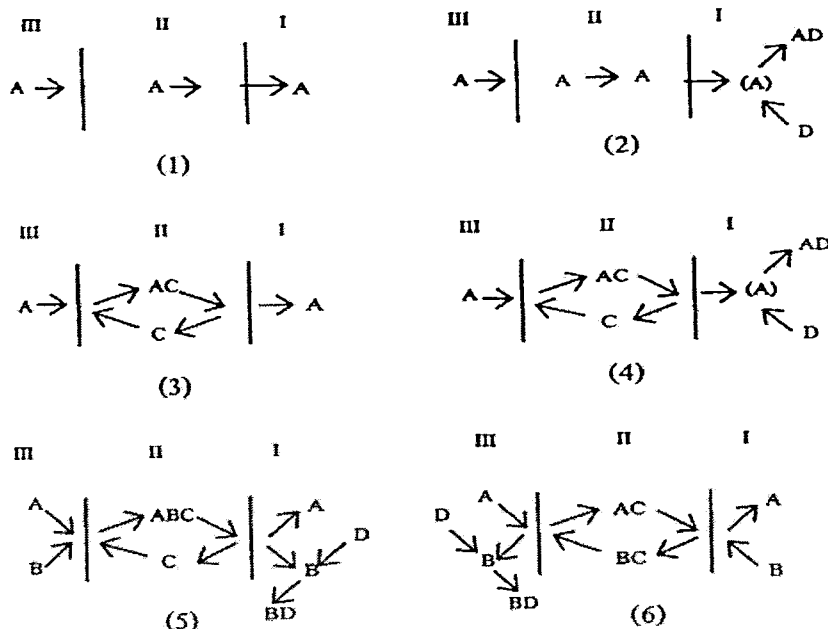
1. การแพร่ของไอออนโลหะจากสารละลายปื้อนไปยังผิวของเยื่อแผ่นเหลว
2. การเกิดปฏิกิริยาของไอออนโลหะกับสารสกัดเกิดเป็นสารประกอบเชิงช้อนที่ผิวสัมผัสของสารละลายปื้อนกับเยื่อแผ่นเหลว
3. การแพร่ของสารประกอบเชิงช้อนจากผิวสัมผัสของสารละลายปื้อนกับเยื่อแผ่นเหลวผ่านเข้าวัสดุภาคเยื่อแผ่นเหลวไปยังผิวสัมผัสของเยื่อแผ่นเหลวและสารละลายน้ำก้นบ
4. การเกิดปฏิกิริยาขึ้นกับสารประกอบเชิงช้อนกับสารเป็นไอออนโลหะและสารสกัดที่ผิวสัมผัสของเยื่อแผ่นเหลวและสารละลายน้ำก้นบ
5. การแพร่ของไอออนโลหะจากผิวของเยื่อแผ่นเหลวไปยังสารละลายน้ำก้นบ

ถ้ากำหนดให้การแพร่ผ่านวัสดุภาคเยื่อแผ่นเหลวเป็นขั้นตอนที่กำหนดการถ่ายเทนวลด (rate determining step) แล้ว กลไกการถ่ายเทนวลดแบบแพร่ซึมที่เกิดขึ้นจะแบ่งได้ดังนี้

3.1.1 การแพร่ซึมอย่างง่าย (Simple permeation)

การถ่ายเทนวลดขององค์ประกอบที่ต้องการแยกจากวัสดุภาคสารละลายปื้อนไปสู่วัสดุภาคสารละลายน้ำก้นบจะอาศัยการแพร่ซึมของสารละลาย ทั้งนี้ต้องพิจารณาความสามารถในการละลายขององค์ประกอบที่ต้องการแยก ในกรณีหากสมมติให้ (A) เป็นองค์ประกอบที่ต้องการแยก และสามารถละลายได้ในวัสดุภาคเยื่อแผ่นเหลว การแพร่ซึมของมวลสารจะเริ่มขึ้นเมื่อมีองค์ประกอบ (A) ซึ่งละลายอยู่ในวัสดุภาคสารละลายปื้อนถ่ายเทไปยังผิวสัมผัสระหว่างวัสดุภาคสารละลายปื้อน

กับวัฏภาพเยื่อแผ่นเหลว และจะแพร่ซึมผ่านชั้นวัฏภาพเยื่อแผ่นเหลวไปสู่ด้านที่เป็นผิวสัมผัสระหว่างวัฏภาพเยื่อแผ่นเหลวกับวัฏภาพสารละลายนำกลับ โดยมีผลต่างความเข้มข้นขององค์ประกอบ (A) เป็นแรงขับดัน (driving force) จากนั้นองค์ประกอบ (A) จึงแพร่ไปสู่สารละลายนำกลับ ดังแสดงในรูปที่ 3.1 (1)



รูปที่ 3.1 กลไกการถ่ายเทนวัลแบบต่างๆ ที่เกิดขึ้นในกระบวนการเยื่อแผ่นเหลว

- I หมายถึง วัฏภาพสารละลายนำกลับ
- II หมายถึง วัฏภาพเยื่อแผ่นเหลว
- III หมายถึง วัฏภาพสารละลายป้อน

หากพิจารณาถึงความเป็นไปได้ในเชิงวิศวกรรมเคมี เราจะพบว่า

- กลไกชนิดที่ 1 ไม่ได้รับความสนใจ เพราะขาดประสิทธิภาพ
- กลไกชนิดที่ 2 เหมาะสำหรับใช้แยกไฮโดรคาร์บอนออกจากน้ำเสีย
- กลไกชนิดที่ 3 และ 4 มิใช้ในกรณีเฉพาะ
- กลไกชนิดที่ 5 และ 6 ได้รับความสนใจอย่างมาก เช่น ใช้ในระบบการบำบัดน้ำเสีย โลหะจากน้ำเสียกลับมาใช้ใหม่ และกระบวนการสกัดโลหะด้วย



3.1.2 การแพร่ซึมอย่างง่ายและเกิดปฏิกิริยานามิ (Simple permeation with chemical reaction)

การแพร่ซึมแบบนี้คล้ายคลึงกับแบบแรก องค์ประกอบ (A) ที่ละลายในวัสดุภาชนะจะป้อนจะแพร่ซึมผ่านวัสดุภาชนะอีกชั้นที่เป็นผิวสัมผัสระหว่างวัสดุภาชนะที่เปลี่ยนแปลงกับวัสดุภาชนะชั้นนอกลับ โดยมีผลด้วยความเข้มข้นขององค์ประกอบ (A) เป็นแรงขับดัน และที่ผิวสัมผัสนี้องค์ประกอบ (A) จะละลายในวัสดุภาชนะชั้นนอกลับ จุดนี้แตกต่างไปจากการแพร่ซึม อย่างง่าย เพราะองค์ประกอบ (A) จะทำปฏิกิริยา กับองค์ประกอบ (D) ซึ่งละลายอยู่ในวัสดุภาชนะชั้นนอกลับเกิดเป็นสารประกอบ (AD) ที่ไม่สามารถละลายได้ในวัสดุภาชนะที่เปลี่ยนแปลง ดังแสดงในรูปที่ 3.1 (2) ดังนั้นการทำให้องค์ประกอบ (A) อยู่ในรูปสารประกอบ (AD) ในวัสดุภาชนะชั้นนอกลับและไม่สามารถละลายได้ในวัสดุภาชนะที่เปลี่ยนแปลง เส่งผลให้ “ผลต่างของความเข้มข้น” ขององค์ประกอบ (A) ที่เป็นแรงขับดันของการถ่ายเทน้ำมีค่าสูงอยู่ตลอดเวลา กลไกการถ่ายเทน้ำมันนี้ประยุกต์ใช้ในการแยกฟิล์มลอดอกจากน้ำทึ้ง แต่การประยุกต์ใช้ในระดับอุตสาหกรรมยังเป็นเรื่องยาก เนื่องจากต้องใช้เวลานานเพื่อให้ได้ค่าความเข้มข้นสูดที่ต้องตามที่ต้องการและมีปัญหาการเกิดผลิตภัณฑ์ที่ไม่ต้องการ

3.1.3 การแพร่ซึมอย่างง่ายที่มีสารสกัด (Simple carrier transport)

สารสกัดที่ละลายในวัสดุภาชนะที่เปลี่ยนแปลงจะช่วยให้การสกัดดีขึ้น และอัตราการถ่ายเทน้ำมันเพิ่มขึ้น สารสกัดนี้จะละลายได้เฉพาะในวัสดุภาชนะที่เปลี่ยนแปลงและสามารถทำปฏิกิริยาแบบผันกลับ (reverse reaction) ได้ กลไกการถ่ายเทน้ำมันนี้เกิดขึ้นแสดงในรูปที่ 3.1 (3) คือ องค์ประกอบ (A) ซึ่งละลายอยู่ในวัสดุภาชนะชั้นนอกลับป้อนจะแพร่ไปที่ผิวสัมผัสระหว่างวัสดุภาชนะชั้นนอกลับกับวัสดุภาชนะที่เปลี่ยนแปลง ที่ผิวสัมผัสนี้สารสกัด (C) ซึ่งละลายอยู่ในวัสดุภาชนะที่เปลี่ยนแปลงจะทำปฏิกิริยา กับองค์ประกอบ (A) เกิดเป็นสารประกอบเชิงช้อน (AC) ผลต่างของความเข้มข้นของสารประกอบ เชิงช้อน (AC) จะเป็นแรงขับดันให้สารประกอบเชิงช้อน (AC) เกิดการแพร่ซึมผ่านวัสดุภาชนะที่เปลี่ยนแปลงจากด้านผิวสัมผัสระหว่างวัสดุภาชนะชั้นนอกลับกับวัสดุภาชนะที่เปลี่ยนแปลงไปด้านผิวสัมผัสระหว่างวัสดุภาชนะที่เปลี่ยนแปลงแล้วกับวัสดุภาชนะชั้นนอกลับ และที่ผิวสัมผัสด้านนี้เองสารประกอบ เชิงช้อน (AC) จะแตกตัวทำให้องค์ประกอบ (A) หลุดไปสู่วัสดุภาชนะชั้นนอกลับ ส่วนสารสกัด (C) จะแพร่ซึมขึ้นกลับไปยังผิวสัมผัสระหว่างวัสดุภาชนะชั้นนอกลับกับวัสดุภาชนะที่เปลี่ยนแปลงเพื่อทำปฏิกิริยา กับองค์ประกอบ (A) อีก

เนื่องจากสารสกัด (C) ช่วยให้องค์ประกอบที่ต้องการแยก (A) ละลายได้ดีขึ้นในวัสดุภาค เชือแผ่นเหลว และเพิ่มอัตราการถ่ายเทนาล ดังนั้นการถ่ายเทนวลจึงไม่ได้ขึ้นอยู่กับความแตกต่าง ของความเข้มข้นขององค์ประกอบ (A) เท่านั้น แต่ยังขึ้นอยู่กับความเข้มข้นของสารสกัด (C) ใน วัสดุภาคเชือแผ่นเหลวด้วย ข้อจำกัดของกลไกการถ่ายเทนวลแบบนี้ คือ กระบวนการถ่ายเทนวลจะ หยุดเมื่อความเข้มข้นขององค์ประกอบ (A) ที่ส่องผ่านของวัสดุภาคเชือแผ่นเหลวมีค่าเท่ากัน ดังนั้น เพื่อให้การแยกเกิดขึ้นอย่างสมบูรณ์จึงจำเป็นต้องออกแบบระบบให้มีหลายขั้นตอน

3.1.4 การแพร่ซึมอย่างง่ายที่มีสารสกัดและปฏิกิริยาเคมี

(Simple carrier transport with chemical reaction)

กลไกการถ่ายเทนวลแบบนี้แสดงในรูปที่ 3.1 (4) องค์ประกอบที่ต้องการแยก (A) ซึ่งละลาย อยู่ในวัสดุภาcars ละลายป้อนแพร่ไปที่ผิวสัมผัสระหว่างวัสดุภาcars ละลายป้อนกับวัสดุภาคเชือแผ่น เหลว และที่ผิวสัมผัสนี้สารสกัด (C) ที่ละลายอยู่ในวัสดุภาคเชือแผ่นเหลวจะทำปฏิกิริยา กับ องค์ประกอบ (A) เกิดเป็นสารประกอบเชิงช้อน (AC) จากนั้นสารประกอบเชิงช้อน (AC) จะแพร่ ซึมผ่านชั้นวัสดุภาคเชือแผ่นเหลวโดยอาศัยผลต่างความเข้มข้นของสารประกอบเชิงช้อน (AC) เป็น แรงขับดันไปยังผิวสัมผัสด้านอีกด้านหนึ่งระหว่างวัสดุภาคเชือแผ่นเหลว กับวัสดุภาcars ละลาย นำกลับซึ่งมีองค์ประกอบ (D) ละลายอยู่และจะทำปฏิกิริยาเกิดเป็นสารประกอบ (AD) ซึ่งไม่ละลายในวัสดุภาคเชือแผ่นเหลว ดังนั้นจึงสามารถลดความเข้มข้นขององค์ประกอบ (A) ในผ่านวัสดุภาcars ละลายป้อนได้มากขึ้นเมื่อเทียบกับกลไกการถ่ายเทนวลแบบการแพร่ซึมอย่างง่าย

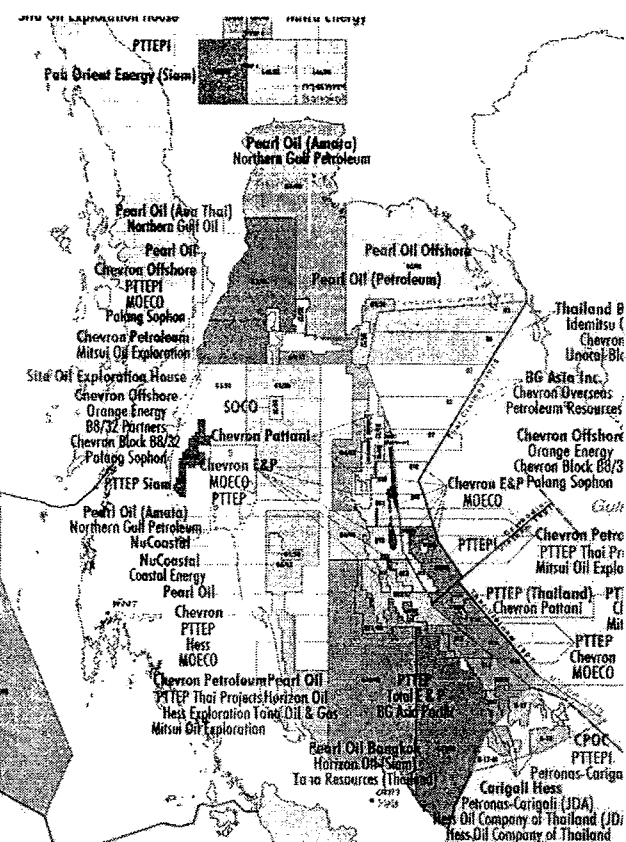
3.2 การถ่ายเทนวลในเชือแผ่นเหลวที่พยุงด้วยเส้นไยกลวง

การอธิบายในหัวข้อนี้จะอธิบายในรูปแบบของกรณีศึกษาของการแยกสารหนูและprototh จากน้ำทึ้งที่ติดขึ้นมา กับการขาดเจาะน้ำมันดิน/ก้าชธรรมชาติ บริเวณแหล่งปิโตรเลียมจากอ่าวไทย เพื่อให้ง่ายต่อการทำความเข้าใจ

โดยทั่วไปในแหล่งปิโตรเลียมจะมีสารหนูและprototh ปะปนอยู่ในปริมาณน้อยมาก แต่ใน บริเวณอ่าวไทยกลับมีปริมาณสารหนูและprototh ในระดับความเข้มข้นที่สูงกว่าแหล่งอื่นๆ ของโลก จึงเกิดความสนใจที่จะศึกษา และจากสมมติฐานต่างๆ ซึ่งให้เห็นว่าแหล่งกำเนิดของสารหนูและ prototh มักพบในแหล่งปิโตรเลียม ซึ่งส่วนใหญ่จะพบprototh ในรูปของธาตุprototh ($Hg(0)$) ส่วนที่เหลือจะอยู่ในรูปของสารอนินทรีย์ ($HgCl_2$) และสารอินทรีย์ (CH_3HgCH_3 และ $C_2H_5HgC_2H_5$) สำหรับสารหนูจะอยู่ในรูปของ $As(III)$ และ $As(V)$ โดย $As(III)$ จะอยู่ในรูป H_3AsO_3 แต่ $As(V)$

จะอยู่ในรูปของ $H_3AsO_4^-$ หรือ $HAsO_4^{2-}$ นอกจากนี้สารหนุนและprotoทฤษฎีจัดอยู่ในกลุ่มของสารที่มีพิษร้ายแรง เนื่องจากสารประกอบของสารหนุนเป็นสารก่อมะเร็งโดยพิษของสารหนุนนี้มีทั้งแบบฉับพลันและแบบเรื้อรัง ส่วนprotoทางไคไดร์รับในระยะสั้นจะส่งผลให้ไตถูกทำลาย และถ้าไคไดร์รับพิษในระยะยาวจะทำให้ระบบถูกทำลายด้วยเช่นกัน

ในปัจจุบันการผลิตปีโตรเลียมจากอ่าวไทยได้ถูกพัฒนาเพื่อตอบสนองต่อความต้องการใช้งานทางด้านพลังงานภายในประเทศที่เพิ่มขึ้น ก่อให้เกิดการร่วมมือกันระหว่างบริษัทชุดเจาะน้ำมันในระดับโลกกับบริษัทการปีโตรเลียมแห่งประเทศไทย โดยได้มีการแบ่งสัมปทานกันดังรูปที่ 3.2 จากรูปเป็นการแบ่งสัมปทานในปี 2009 โดยผลผลิตที่ได้ต่อวันจากหลุ่นชุดเจาะบริเวณอ่าวไทยนี้สูงถึง 680,000 นาห์รอลต่อวัน ส่งผลให้เกิดน้ำทิ้งจากการระบายน้ำเจ้าเป็นปริมาณมาก นอกจากนี้แนวโน้มของปริมาณน้ำทิ้งจะเพิ่มมากขึ้น เนื่องจากการพัฒนากระบวนการขุดเจาะนั่นเอง



รูปที่ 3.2 แผนที่สัมปทานการขุดเจาะน้ำมันในอ่าวไทย (DMF, 2010)

เพื่อจัดการกับน้ำทิ้งจากหลุ่นชุดเจาะปีโตรเลียมที่เกิดขึ้นในปริมาณมากต่อวัน บริษัทชุดเจาะน้ำมันจึงได้ทำการนีด้น้ำทิ้งกลับลงไปยังหลุ่นเก่าที่ไม่มีปีโตรเลียมหลงเหลืออยู่แล้ว อย่างไรก็ตามการปล่อยน้ำทิ้งลงสู่ทะเลก็ยังเป็นสิ่งที่หลีกเลี่ยงไม่ได้ หากการนีด้นกลับไปยังหลุ่นเก่าเกิด

ข้อบกพร่องขึ้น หรือ โครงการสร้างของกุณเเก่ไม่สามารถรองรับน้ำทิ้งในปริมาณมากได้ จากปัญหาเหล่านี้ได้ส่งผลกระทบต่อสิ่งมีชีวิตที่อาศัยอยู่ได้ท้องทะเล นอกจากนี้ทางกระทรวงอุตสาหกรรม และกระทรวงทรัพยากรธรรมชาติและสิ่งแวดล้อมได้กำหนดให้ค่ามาตรฐานน้ำทิ้งก่อนปล่อยออกสู่สิ่งแวดล้อมจะต้องมีค่าปานเปื้อนของสารน้ำและprotoที่ไม่เกิน 250 และ 5 ppb ตามลำดับ

สำหรับวิธีการต่างๆ ที่ถูกนำมาใช้ในการกำจัดโลหะหนักออกจากน้ำทิ้งนี้ พบว่ามีหลายวิธีด้วยกัน ได้แก่ การตกตะกอน, อิเล็กโทรไลซิส, รีเวิร์สอสโตร์โมซิส, การคุดซับด้วยคาร์บอน, การกรอง, การสกัดด้วยด้าวทำละลาย และการแยกเปลี่ยนไออกอน ถึงกระนั้นวิธีการเหล่านี้ยังไม่สามารถกำจัดโลหะหนักที่ระดับความเข้มข้นต่ำๆ ได้ แต่ยังไร์ก์ตามการตกตะกอนก็ยังเป็นวิธีที่นิยมใช้มากที่สุดซึ่งกระบวนการนี้จะมีการเติมสารเคมีลงไปเพื่อให้องค์ประกอบที่ต้องการแยกเกิดการตกตะกอน แล้วจึงกรองเอาตะกอนออกไป ส่วนการคุดซับก็เป็นอีกวิธีหนึ่งที่นอกเหนือจากวิธีการตกตะกอน แต่ก็ยังมีข้อจำกัดในการแยก เนื่องจากวิธีนี้สามารถแยกprotoออกได้เพียงชนิดเดียว ไม่สามารถแยกสารน้ำออกมาได้ในกรณีที่มีทั้งสารน้ำและprotoปานเปื้อนมากด้วยกัน

บริษัทเซฟرونเป็นบริษัทนำมั่นชั้นนำที่ได้สัมปทานในอ่าวไทย และทำหน้าที่ควบคุมตลอดจนนำบัดน้ำทิ้งให้ได้ตามที่มาตรฐานกำหนด แต่ยังไร์ก์ตามปริมาณไออกอนสารน้ำและprotoที่วัดค่าได้ยังเกินกว่าค่าที่กำหนดไว้ ส่วนการใช้สารเคมีในการบำบัด เช่น โซเดียม-ไฮดรอกไซด์และเฟอริกออกไซด์นั้น พบว่ายังมีปัญหาต่อการกัดกร่อนห่อโลหะที่อยู่ในกุณฑุจจะซึ่งวิธีแก้ไขจะต้องใช้วัสดุที่ทนการกัดกร่อนได้ดีโดยการใช้โลหะผสมที่มีประสิทธิภาพสูง แต่ราคาที่ใช้ดำเนินการจะค่อนข้างสูงมาก

เพื่อจัดการกับปัญหาต่างๆ เหล่านี้ ระบบเยื่อแผ่นเหลวที่พยุงด้วยเส้นไกลวงจึงได้รับความสนใจที่จะศึกษาเพื่อนำไปใช้แยกไออกอนสารน้ำและprotoออกจากน้ำทิ้งให้ได้ตามมาตรฐานที่กำหนด และเพื่อทดสอบวิธีแยกแบบเดิมที่ไม่สามารถแยกไออกอนโลหะในระดับความเข้มข้นต่ำๆ ได้ แต่ระบบเยื่อแผ่นเหลวที่พยุงด้วยเส้นไกลวงสามารถแยกไออกอนสารน้ำและprotoที่ความเข้มข้นต่ำกว่าระดับ ppm ได้อย่างมีประสิทธิภาพ ถึงแม้ว่าจะใช้สารสกัดเพียงชนิดเดียว หรือการใช้สารสกัดแบบเสริมฤทธิ์ตาม

3.2.1 เยื่อแผ่นเหลวที่พยุงด้วยเส้นไกลวง

ในเรื่องราวของเยื่อแผ่นเหลวได้อธิบายมาแล้วในบทที่ 2 แต่ในหัวข้อนี้จะเน้นเฉพาะเยื่อแผ่นเหลวที่พยุงด้วยเส้นไกลวง

สารสกัดอินทรีย์ได้ถูกนำมาใช้เป็นเยื่อแผ่นเหลว โดยจะถูกฝังลงไปในรูพรุนของเส้นไกลวงที่ผลิตจากวัสดุชนิดไม่ชอบน้ำ เพื่อทำหน้าที่สกัดองค์ประกอบที่ต้องการให้แพร่ผ่านเยื่อแผ่นเหลวออกไป และในขณะเดียวกันยังได้ทำหน้าที่ป้องกันไม่ให้องค์ประกอบอื่นๆ ที่ไม่ต้องการ

แพร่ผ่านออกไปอีกด้วย ซึ่งนำໄປใช้ประโยชน์ได้ดีกว่าวิธีการสกัดด้วยตัวทำละลาย เพราะองค์ประกอบที่ต้องการสกัดจะสามารถกระจายตัวได้ดี จึงสามารถถ่ายเทน้ำได้สูง นอกจากนี้ระบบเยื่อแผ่นเหลาชั้นสามารถปรับอัตราการไหลได้โดยปราศจากปัจจัยเรื่องการอุดตัน การล้น และการเกิดช่องว่าง

สำหรับระบบเยื่อแผ่นเหลาที่พยุงด้วยเส้นไอกลวงแสดงได้ดังรูปที่ 2.12 ซึ่งอยู่ในบทที่ 2 โดยระบบประกอบด้วยวัสดุภาชนะและลายป้อน วัสดุภาชนะเยื่อแผ่นเหลา และวัสดุภาชนะและลายนำกลับ ซึ่งวัสดุภาชนะและลายป้อนจะมีองค์ประกอบที่ต้องการสกัดและองค์ประกอบอื่นๆ ละลายอยู่ ส่วนวัสดุภาชนะและลายนำกลับจะทำหน้าที่เป็นตัวรองรับองค์ประกอบที่ต้องการสกัดจากวัสดุภาชนะและลายป้อนที่เผยแพร่ผ่านเยื่อแผ่นเหลาออกมานี้ ทำให้ระบบเยื่อแผ่นเหลาที่พยุงด้วยเส้นไอกลวง โอดเด่นในเรื่องของการสกัด การแพร่ผ่านเยื่อแผ่นเหลา และการนำกลับ เนื่องจากสามารถทำการสกัดและนำกลับได้ในขั้นตอนเดียวกัน

เยื่อแผ่นเหลาที่ใช้งานอยู่ทั่วไปนั้นพบว่ามีหลายรูปแบบด้วยกัน ได้แก่ แบบปั่นกว้างแบบอินลัชัน และแบบที่พยุงด้วยตัวรองรับ ซึ่งแต่ละรูปแบบจะมีทั้งข้อดีและข้อเสียที่แตกต่างกันไปอย่างเช่น เยื่อแผ่นเหลาแบบปั่นกว้างสามารถเตรียมและดำเนินการได้ง่าย แต่มีพื้นที่ผิวสัมผัสน้อย ส่วนเยื่อแผ่นเหลาแบบอินลัชันจะมีพื้นที่ผิวสัมผัสมาก แต่มีความเสถียรของเยื่อแผ่นน้อย สำหรับเยื่อแผ่นเหลาที่พยุงด้วยตัวรองรับจะมีพื้นที่ผิวสัมผัสมาก มีอัตราการถ่ายเทน้ำและมีความเสถียรค่อนข้างสูง จึงทำให้เยื่อแผ่นเหลาที่พยุงด้วยตัวรองรับได้รับความสนใจจากภาคอุตสาหกรรม นอกจากนี้เยื่อแผ่นเหลาที่พยุงด้วยตัวรองรับยังมีความเหมาะสมที่จะนำไปใช้กับระบบที่มีลักษณะการไหลแบบต่อเนื่อง และได้รับความนิยมจากทั่วโลกในการนำไปสกัด ไอโอดีน โลหะต่างๆ ออกจากน้ำทึบ เช่น นิกเกล ยูโรเนียม โคโรเมียม และทองแดง เป็นต้น

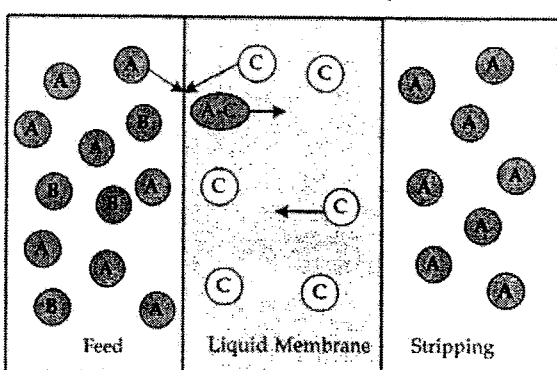
3.2.2 การแพร่ชีมผ่านเยื่อแผ่นเหลาที่พยุงด้วยเส้นไอกลวง

ในระบบเยื่อแผ่นเหลาที่พยุงด้วยเส้นไอกลวงได้ถูกสร้างให้หัววัสดุภาชนะและลายป้อนและวัสดุภาชนะนำกลับแยกออกจากกันด้วยการกันขี้นของสารสกัดที่อยู่ในรูปrunของเส้นไอกลวง โดยองค์ประกอบที่ต้องการสกัดจะทำปฏิกิริยากับสารสกัดเกิดเป็นสารประกอบเชิงซ้อนที่บริเวณผิวสัมผัสระหว่างสารและลายป้อนกับเยื่อแผ่นเหลา จากนั้นสารประกอบเชิงซ้อนจะแพร่ผ่านเยื่อแผ่นเหลาไปทำปฏิกิริยาขึ้นกับสารและลายนำกลับที่บริเวณผิวสัมผัสถือกฟังของเยื่อแผ่นเหลา ทำให่องค์ประกอบที่ต้องการสกัดถูกปล่อยเข้าสู่วัสดุภาชนะและลายนำกลับตามลำดับ ดังนี้ จึงสามารถสกัดและนำกลับองค์ประกอบที่ต้องการได้ในขั้นตอนเดียว และอัตราการถ่ายเทน้ำได้ถูกขับเคลื่อนจากผลต่างความเข้มข้นขององค์ประกอบที่ต้องการสกัดที่อยู่ในวัสดุภาชนะและลายป้อน กับวัสดุภาชนะและลายนำกลับ ซึ่งปรากฏการณ์ของการแพร่ผ่านนี้สามารถแบ่งออกเป็นการ

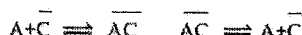
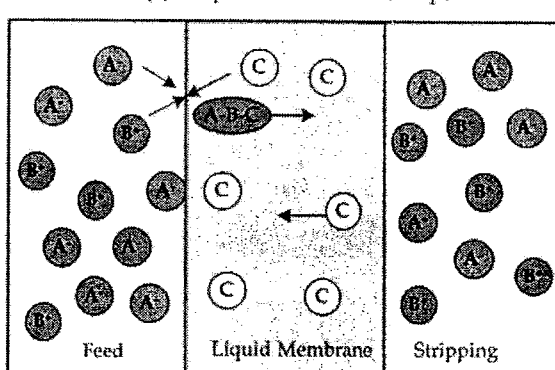
ถ่ายเทmvlแบบง่าย (simple facilitated transport) หรือการถ่ายเทmvlแบบควบคู่ (coupled facilitated transport) โดยการถ่ายเทแบบง่ายจะเกิดขึ้นเมื่อไม่มีองค์ประกอบอื่นๆ ที่ไม่ต้องการละลายอยู่ หรือหมายความกับการสกัดคงก์ประกอบที่เป็นกลาง ในขณะที่การสกัดไอออนมักจะเป็นการถ่ายเทmvlแบบควบคู่ จากแรงขันเคลื่อนที่ขึ้นกับชนิดและความเข้มข้นของไอออนร่วม (co-ion) ที่อยู่ในสารละลายป้อน

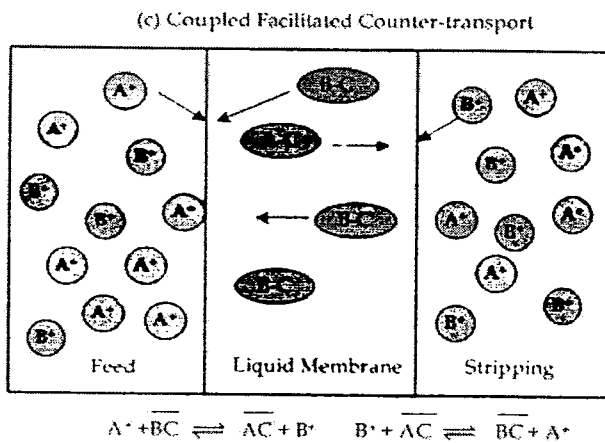
สำหรับการถ่ายเทmvlของแต่ละรูปแบบแสดงได้ดังรูปที่ 3.3 โดย (A) คือ องค์ประกอบที่ต้องการสกัด (B) คือ ไอออนร่วม (C) คือสารสกัดอินทรีย์ และ (\overline{AC} หรือ \overline{BC} หรือ \overline{ABC}) คือสารประกอบเชิงช้อน ส่วนในงานของเรา นั้นองค์ประกอบที่ต้องการสกัดคือ ไอออนสารหมุนและproto จากรูปที่ 3.3 โดยกลไกการถ่ายเทmvlแบบง่ายแสดงได้ดังรูปที่ 3.3(a) ซึ่งสารประกอบเชิงช้อน (\overline{AC}) เกิดจากการทำปฏิกิริยาขององค์ประกอบ (A) กับ (C) จากนั้น (\overline{AC}) จะทำปฏิกิริยาขึ้นกลับที่บริเวณผิวสัมผัสระหว่างเยื่อแผ่นเหลวกับสารละลายนำกลับ แล้วองค์ประกอบ (A) จะถูกปล่อยเข้าไปในวัฏจักรสารละลายนำกลับ ส่วนการถ่ายเทmvlแบบควบคู่สามารถแบ่งออกได้เป็น 2 แบบคือ แบบถ่ายเทไปในทิศทางเดียวกัน (รูปที่ 3.3(b)) และแบบถ่ายเทในทิศทางสวนกัน (รูปที่ 3.3(c)) ในส่วนของการถ่ายเทmvlแบบควบคู่ในทิศทางเดียวกันนี้ สารสกัดจะทำปฏิกิริยากับองค์ประกอบที่ต้องการสกัด (A) และ ไอออนร่วม (B) เกิดเป็นสารประกอบเชิงช้อน (\overline{ABC}) แล้วพร้อมกันที่เยื่อแผ่นเหลวไปยังบริเวณผิวสัมผัสร่างกาย ผ่านสารละลายนำกลับ เพื่อทำการนำกลับองค์ประกอบที่ต้องการสกัดและ ไอออนร่วม ดังนั้นจึงถือได้ว่าเป็นการถ่ายเทmvlไปในทิศทางเดียวกันขององค์ประกอบที่ต้องการสกัดกับ ไอออนร่วมที่แพร่ผ่านจากวัฏจักรสารละลายป้อนไปยังวัฏจักรสารละลายนำกลับนั่นเอง ซึ่งมักจะเป็นการสกัดของสารสกัดชนิดกลางและสารสกัดชนิดเบส โดยปฏิกิริยาการสกัดขององค์ประกอบที่ต้องการกับสารสกัดชนิดกลางแสดงได้ดังสมการที่ (3.1) และปฏิกิริยาการสกัดขององค์ประกอบที่ต้องการกับสารสกัดชนิดเบสแสดงได้ดังสมการที่ (3.2) ตามลักษณะ

(a) Simple Facilitated transport



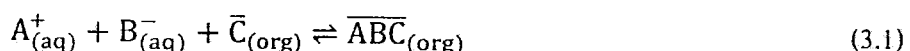
(b) Coupled Facilitated Co-transport



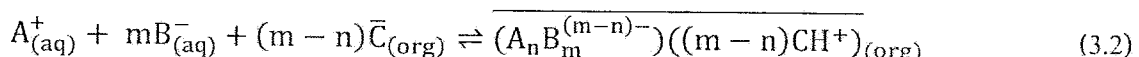


รูปที่ 3.3 รูปแบบการถ่ายเทนวัลในระบบเยื่อแผ่นเหลว (Bringas et al., 2009)

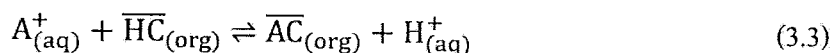
การถ่ายเทนวัลแบบควบคู่ในพิษทางเดียวกัน: ในกรณีใช้สารสกัดชนิดกลวง



การถ่ายเทนวัลแบบควบคู่ในพิษทางเดียวกัน: ในกรณีใช้สารสกัดชนิดเบส



ในส่วนของการถ่ายเทนวัลแบบควบคู่ในพิษทางส่วนกันจะเป็นกลไกที่ตรงข้ามกับการถ่ายเทนวัลแบบไปในพิษทางเดียวกัน ซึ่งไอออนร่วม (B) จะถูกถ่ายเทจากวัฏจักรสารละลายน้ำกลับไปยังวัฏจักรสารละลายน้ำอ่อน จึงส่วนทางกันของค์ประกอบที่ต้องการสกัด (A) โดยกลไกจะเริ่มจากการทำปฏิกิริยาขององค์ประกอบ (A) กับสารสกัดที่อยู่ในรูปของสารประกอบ (\overline{BC}) และเกิดเป็นสารประกอบเชิงช้อน (\overline{AC}) จากนั้นจึงถ่ายเทไปยังบริเวณผิวสัมผัสทางผิวสารละลายน้ำกลับซึ่งองค์ประกอบ (A) จะถูกปล่อยเข้าไปในสารละลายน้ำกลับ ในขณะเดียวกัน ไอออนร่วม (B) จะถ่ายเทส่วนกลับจากสารละลายน้ำกลับมาพร้อมกับสารสกัด โดยการถ่ายเทนวัลแบบส่วนทางนี้มักจะเป็นการสกัดของการใช้สารสกัดชนิดกรด และปฏิกิริยาการสกัดแสดงให้ดังสมการที่ (3.3) การถ่ายเทนวัลแบบควบคู่ในพิษทางส่วนกัน: ในกรณีใช้สารสกัดชนิดกรด



โดยที่ H^+ คือ ไฮโดรเจนไอออน

แรงขับเคลื่อนในการถ่ายเทนวัลผ่านเยื่อแผ่นเหลวของการถ่ายเทนวัลแบบควบคุ้มเกิดจากผลต่างความเข้มข้นขององค์ประกอบที่ต้องการสกัดหรือผลต่างความเข้มข้นของไฮโดรเนี่ยนไอออน สำหรับงานวิจัยของห้องปฏิบัติการวิจัยแยกมวลเป็นการศึกษาการถ่ายเทนวัลของไอออนสารแทนและprotothioออกจากน้ำทึบที่ระดับความเข้มข้นต่ำๆ ด้วยกลไกการถ่ายเทนวัลแบบควบคุ้ม และมีผลต่างความเข้มข้นขององค์ประกอบที่ต้องการสกัดเป็นแรงขับเคลื่อน

นอกจากนี้พารามิเตอร์ที่สำคัญซึ่งอธิบายถึงลักษณะการทำงานของระบบเยื่อแผ่นเหลวสามารถแสดงได้ในเทอมของค่าเบอร์เซ็นต์การสกัด ค่าเบอร์เซ็นต์การนำกลับ และค่าอัตราการกระจายหรือสัมประสิทธิ์การกระจาย (Distribution ratio or Distribution coefficient, D) โดยเบอร์เซ็นต์การสกัดจะเป็นค่าที่แสดงถึงปริมาณขององค์ประกอบที่ต้องการถูกสกัดออกไป ซึ่งในงานนี้จะพิจารณาปริมาณของไอออนสารแทนและprotothioที่ถูกสกัดออกจากน้ำทึบ ส่วนเบอร์เซ็นต์การนำกลับจะแสดงให้เห็นถึงปริมาณขององค์ประกอบที่ถูกสกัดแล้วถ่ายเทผ่านวัสดุภาคเยื่อแผ่นเหลวไปอยู่ในวัสดุภาคสารละลายนำกลับ และค่าอัตราการกระจายจะบอกถึงปริมาณขององค์ประกอบที่ต้องการสกัดที่ถูกถ่ายเทไปยังวัสดุภาคต่อไป ซึ่งคำนวณได้จากค่าความเข้มข้นขององค์ประกอบที่ต้องการสกัดที่อยู่ในวัสดุภาคเยื่อแผ่นเหลวหารด้วยค่าความเข้มข้นของมันที่อยู่ในวัสดุภาคสารละลายน้ำ และเพื่อความเข้าใจพารามิเตอร์ทั้งสามสามารถแสดงได้ดังสมการที่ (3.4)-(3.6)

$$\% \text{ การสกัด (Extraction)} = \frac{(C_{f0} - C_f)}{C_{f0}} \times 100 \quad (3.4)$$

$$\% \text{ การนำกลับ (Stripping)} = \frac{C_s}{C_{f0}} \times 100 \quad (3.5)$$

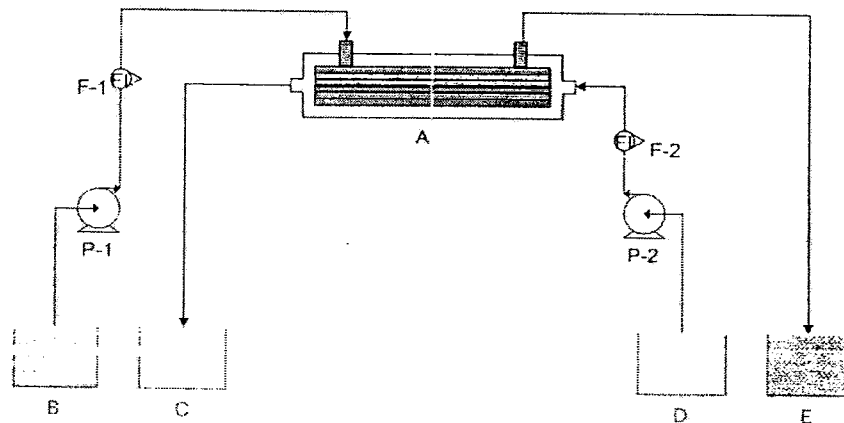
$$\text{อัตราการกระจาย (Distribution rate)} = \frac{C_m}{C_{aq}} \quad (3.6)$$

3.2.3 การเตรียมและการดำเนินการของระบบเยื่อแผ่นเหลวที่พยุงด้วยเส้นไอกลวง

ระบบเยื่อแผ่นเหลวที่พยุงด้วยเส้นไอกลวงประกอบด้วยเกียร์ปั๊มจำนวน 2 เครื่อง, เครื่องควบคุมอัตราการไหลจำนวน 2 เครื่อง, โรตามิเตอร์จำนวน 2 เครื่อง และเครื่องวัดความดันจำนวน 4 เครื่อง ส่วนมอคูลเส้นไอกลวงเป็นของ Celgard® โดยเส้นไอกลวงผลิตจากวัสดุพอลิโพรไฟลีนและเมธิรูรูนขนาดไมโคร แล้วถูกมัดรวมกันอยู่ในห้องมอคูล ส่วนคุณสมบัติต่างๆ ของมอคูลเส้นไอกลวงได้แสดงไว้แล้วในบทที่ 2 ตารางที่ 2.1

ส่วนการจัดการระบบเยื่อแผ่นเหลวที่พยุงด้วยเส้นไอกลวงแสดงได้ดังรูปที่ 3.4 โดยสารสกัดจะถูกป้อนให้ไหลวนในด้านท่อและเปลือกของมอคูลเป็นเวลาไม่น้อยกว่า 20 นาที

เพื่อให้แน่ใจว่าสารสกัดได้แพร่ซึมเข้าไปอยู่ในรูปธุนของเส้นใยกลวง จากนั้นจึงป้อนสารละลายน้ำหรือน้ำทึบและสารละลายน้ำกลับเข้าไปในฝั่งท่อและฝั่งเปลือกของมอคูลในทิศทางที่สวนกันตามลำดับและเก็บตัวอย่างเป็นปริมาตรละ 10 มิลลิลิตรจากสารละลายน้ำป้อนและสารละลายน้ำกลับหลังจากทำการสกัดแต่ละรอบเสร็จ (ประมาณ 40 นาทีต่อรอบ) แล้วนำไปวิเคราะห์หาค่าความเข้มข้นของไอออนสารหนูและprotothai เครื่อง inductively coupled plasma spectroscopy (ICP)



รูปที่ 3.4 ระบบเยื่อแผ่นเหลวที่พยุงด้วยเส้นใยกลวงที่ดำเนินระบบแบบไอลสวนทาง โดย A คือเยื่อแผ่นเหลวที่พยุงด้วยเส้นใยกลวง, B คือถังใส่สารละลายน้ำป้อนเข้า, C คือถังใส่สารละลายน้ำกลับขากอก, D คือถังใส่สารละลายน้ำกลับขาเข้า และ E คือถังใส่สารละลายน้ำออก

3.3 กลไกการถ่ายเทนวลในเยื่อแผ่นเหลวที่พยุงด้วยเส้นใยกลวง

การถ่ายเทนวลในเยื่อแผ่นเหลวที่พยุงด้วยเส้นใยกลวงเป็นผลรวมของการถ่ายเทนวลของไอออนสารหนูและprotothai กวักอากาศสารละลายน้ำป้อนผ่านวัสดุภาคเยื่อแผ่นเหลวไปยังวัสดุภาคสารละลายน้ำกลับ ซึ่งแรงขับเคลื่อนสามารถเกิดจากผลต่างความเข้มข้นของไอออนสารหนูและprotothai ผลต่างความเข้มข้นของไอโตรนียมไอออน

ในทางวิศวกรรมนั้นสัมประสิทธิ์การถ่ายเทนวล (mass transfer coefficient, k) ถูกนำมาพิจารณาเพื่อหาปริมาณของมวลที่ถูกถ่ายเทไปในระหว่างวัสดุภาค โดยค่าสัมประสิทธิ์การถ่ายเทนวลจะเป็นค่าคงที่ ซึ่งสัมพันธ์กับอัตราการถ่ายเทนวล พื้นที่ในการถ่ายเทนวล และผลต่างความเข้มข้นของมวลที่ถูกถ่ายเท สำหรับการหาค่าสัมประสิทธิ์การถ่ายเทนวลของไอออนสารหนูหรือprotothai ที่แพร่ผ่านเยื่อแผ่นเหลวที่พยุงด้วยเส้นใยกลวงนี้สามารถหาได้จากความสัมพันธ์ของค่าสัมประสิทธิ์การถ่ายเทนวลและค่าสัมประสิทธิ์การแพร่ผ่าน (permeability coefficient, P)

ซึ่งค่าสัมประสิทธิ์การแพร่ผ่านจะขึ้นอยู่กับค่าความต้านทานในการถ่ายเทนวล (mass transfer resistance) ที่เป็นส่วนกลับของค่าสัมประสิทธิ์การถ่ายเทนวลดังแสดงในสมการที่ (3.7a)

$$\frac{1}{P} = \frac{1}{k_f} + \frac{r_i}{r_{lm}} \cdot \frac{1}{Dk_m} + \frac{r_i}{r_o} \cdot \frac{1}{k_s} \quad (3.7a)$$

เมื่อ $r_{lm} = \frac{r_o - r_i}{\ln\left(\frac{r_o}{r_i}\right)}$ (3.7b)

และ $k_m = \frac{\varepsilon D_m}{\tau r_i \ln\left(\frac{r_o}{r_i}\right)}$ (3.8)

โดยค่าความต้านทานในการถ่ายเทนวลของห้องสามาเทนในสมการที่ (3.7) นี้เป็นไปตามกลไกการถ่ายเทนวลห้องสามาที่วัสดุของระบบเยื่อแผ่นเหลวที่พุ่งด้วยเส้นไขกลวง ซึ่งค่าความต้านทานแรกเป็นค่าความต้านทานที่เกิดจากการแพร่ผ่านของไอออนสารอนุและprotoที่ปัจจบันเรณผิวสัมผัสทางผิววัสดุสารละลายป้อน ส่วนค่าความต้านทานที่สองเป็นค่าความต้านทานที่เกิดจากสารประกอบเชิงช้อนของสารอนุหรือprotoที่ผ่านวัสดุเยื่อแผ่นเหลว และค่าความต้านทานที่สามเป็นค่าความต้านทานที่เกิดจากการแพร่ผ่านบริเวณผิวสัมผัสทางผิวสารละลายนำกลับแต่ค่าความต้านทานที่บริเวณผิวสัมผัสทางผิวสารละลายนำกลับนี้จะไม่ถูกนำมาพิจารณาเนื่องจากค่าสัมประสิทธิ์การถ่ายเทนวลในวัสดุสารละลายนำกลับ (k_s) มีค่ามากกว่าในวัสดุสารละลายป้อน (k_f) ซึ่งขึ้นกับสมมติฐานดังต่อไปนี้

1. ชั้นฟิล์มที่บริเวณผิวสัมผัสทางผิวสารละลายป้อนหนากว่าชั้นฟิล์มที่บริเวณผิวสัมผัสทางผิวสารละลายนำกลับ เนื่องจากไอออนของสารอนุหรือproto และไอออนร่วมจะรวมตัวกันอย่างหนาแน่นที่บริเวณผิวสัมผัสทางผิวสารละลายป้อน ในขณะที่บริเวณผิวสัมผัสทางผิวสารละลายนำกลับจะมีไอออนของสารนำกลับและไอออนของสารอนุหรือprotoรวมตัวกันอย่างบางๆ ดังนั้นค่าความหนาของชั้นฟิล์มที่บริเวณผิวสัมผัสของห้องสองวัสดุสารจะมีผลต่อค่าสัมประสิทธิ์การถ่ายเทนวลดังแสดงในสมการที่ (3.10) และจากสมการจะสรุปได้ว่าค่าสัมประสิทธิ์การถ่ายเทนวลในวัสดุสารละลายนำกลับของห้องป้อนจะมีค่าน้อยกว่าในวัสดุสารละลายนำกลับ

สัมประสิทธิ์การถ่ายเทmv ในวัสดุภาคสารละลายป้อน

$$k_f = \frac{D}{l_{if}} \quad (3.9)$$

สัมประสิทธิ์การถ่ายเทmv ในวัสดุภาคสารละลายนำกลับ

$$k_s = \frac{D}{l_{is}} \quad (3.10)$$

ผลต่างความเข้มข้นของไออกอนสารหมู่หรือprotoที่ในสารละลายป้อน (C_f) กับบริเวณผิวสัมผัสทางฝั่งสารละลายป้อน (C_f^*) มีค่าสูงกว่าผลต่างที่บริเวณผิวสัมผัสทางฝั่งสารละลายนำกลับ (C_s^*) กับในเชื้อเพลิงเหลว (C_s) และเมื่อค่าไฟลักซ์ของห้องสองวัสดุภาคเท่ากันดังแสดงในสมการที่ (3.11) จึงทำให้ค่า “ k_f ” มีค่านโยบายกว่าค่า “ k_s ”

$$J = k_f(C_f - C_f^*) = k_s(C_s^* - C_s) \quad (3.11)$$

2. มีเพียงไซโตรเนียมไออกอนเท่านั้นที่ถูกใช้ในวัสดุภาคสารละลายนำกลับ และสามารถสัมผัสถกับเชื้อเพลิงเหลวได้โดยตรง จึงเกิดปฏิกิริยาขึ้นกันเอง ให้อาจรวดเร็ว ทำให้ค่าความด้านทานในเทอมที่สามของสมการที่ (3.7) ไม่ถูกนำมาพิจารณา ดังนั้นสัมประสิทธิ์การถ่ายเทmvจะหาได้จากสมการที่ (3.12)

$$\frac{1}{P} = \frac{1}{k_f} + \frac{r_i}{r_{lm}} \cdot \frac{1}{Dk_m} \quad (3.12)$$

โดยค่าสัมประสิทธิ์การแพร่ผ่านสามารถหาได้จากสมการของ Danesi ดังแสดงในสมการที่ (3.13)

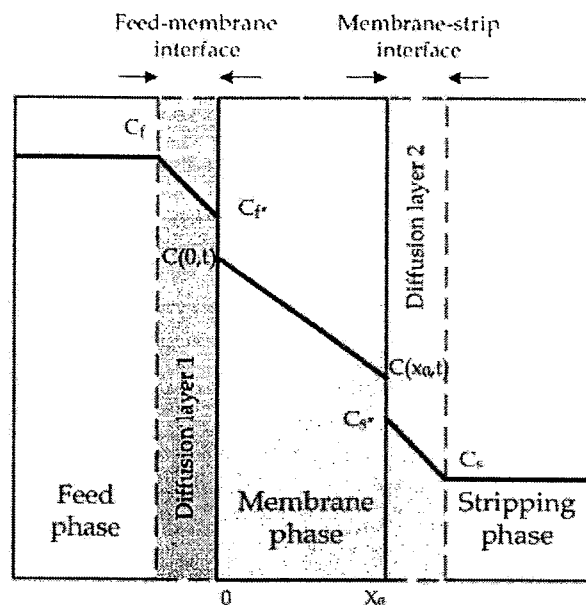
$$-V_f \ln \left(\frac{C_f}{C_{f_0}} \right) = AP \frac{\beta}{\beta+1} t \quad (3.13)$$

$$\text{เมื่อ } \beta = \frac{Q_f}{PL\varepsilon\pi N r_i} \quad (3.14)$$

ชี้ค่าสัมประสิทธิ์การแพร่ผ่านคำนวณได้จากค่าความชันของเส้นกราฟที่พล็อตระหว่างค่า $-V_f \ln \left(\frac{C_f}{C_{f_0}} \right)$ กับ t

แบบจำลองทางคณิตศาสตร์ถูกนำมาใช้ชินายก ล. ไกการถ่ายเทนวัตผ่านระบบเพื่อแผ่นเหลวที่พยุงด้วยเส้นไขกลวงเพื่อให้เข้าใจระบบมากขึ้นและเพื่อทำนายพฤติกรรมของระบบภายใต้สภาวะที่แตกต่างกันไป และแบบจำลองทางคณิตศาสตร์ที่ยอมรับว่าถูกต้องแล้วจะนำไปใช้ในการพัฒนาระบบสำหรับประยุกต์ใช้ในภาคอุตสาหกรรมต่อไป โดยแบบจำลองทางคณิตศาสตร์ได้พัฒนามาจากนักวิจัยหลายคน ได้แก่ แบบจำลองการแพร่ผ่าน (diffusion model) แบบจำลองการไหลในห่อ (plug flow model) และแบบจำลองด้วยการพล็อตกราฟ (graphical model) ซึ่งในกลุ่มงานวิจัยของเราได้สนใจศึกษาแบบจำลองการแพร่ผ่านที่ได้นำเสนอไว้ในงานของ Huang ด้วยกฎของฟิก (Fick's Law) ตามสมมติฐานด้านล่างนี้

- ระบบอยู่ในสภาวะสมดุลเทียม (Pseudo steady state) จึงทำให้ค่าอุณหภูมิและค่าคุณสมบัติทางกายภาพคงที่
- ไม่มีการแพร่ซึ่งของเยื่อแผ่นเหลวไปยังวัสดุภาชนะที่อยู่ในและวัสดุภาชนะที่อยู่นอกลับ
- ปริมาณของเยื่อแผ่นเหลวไม่ถูกนำมาพิจารณาเมื่อเปรียบเทียบกับปริมาณของสารละลายปื้อนและสารละลายนำกลับ
- อัตราการเกิดปฏิกิริยาที่บริเวณผิวสัมผัสทางฝั่งสารละลายปื้อนและสารละลายนำกลับเกิดขึ้นเร็วมากจนสามารถข้ามความต้านทานที่เกี่ยวข้องกับปฏิกิริยาได้



รูปที่ 3.5 ขั้นตอนการถ่ายเทนวัตด้วยแบบจำลองการแพร่ผ่านของ Huang

การถ่ายเทน้ำลงแม่น้ำและขันตอนสามารถอธิบายได้ด้วยการแพร่ผ่านจากกุญแจของพิกซ์ ซึ่งแสดงได้ดังนี้

1. องค์ประกอบที่ต้องการสกัดแพร่ผ่านชั้นฟิล์มที่บริเวณผิวสัมผัสระหว่างวัสดุภายนอกสารละลายปีอนกับวัสดุภาคเยื่อแผ่นเหลว

$$J_f = k_f(C_f - C_f^*) \quad (3.15)$$

2. องค์ประกอบที่ต้องการสกัดทำปฏิกิริยา กับสารสกัดเกิดเป็นสารประกอบเชิงช้อน

$$J_{r1} = k_1 C_f^* - k_{-1} C_{(0,t)} \quad (3.16)$$

3. สารประกอบเชิงช้อนแพร่ผ่านวัสดุภาคเยื่อแผ่นเหลวไปยังบริเวณผิวสัมผัสร่างผิววัสดุภายนอกสารละลายนำกลับ

$$J_{m1} = -D_e \frac{\partial C_{(0,t)}}{\partial x} \quad (3.17)$$

$$J_{m2} = -D_e \frac{\partial C_{(x_0,t)}}{\partial x} \quad (3.18)$$

สารประกอบเชิงช้อนเกิดปฏิกิริยาข้อนกลับที่บริเวณผิวสัมผัสร่างผิววัสดุภายนอกสารละลายนำกลับ ซึ่งจะทำให้องค์ประกอบที่ต้องการสกัดถูกปลดปล่อยเพื่อที่จะแพร่ผ่านไป

1. ในวัสดุภายนอกสารละลายนำกลับ ในขณะเดียวกันสารสกัดแพร่ข้อนกลับมาข้างวัสดุภาคเยื่อแผ่นเหลว

$$J_{r2} = k_{-2} C_{(x_0,t)} - k_2 C_s^* \quad (3.19)$$

2. องค์ประกอบที่ต้องการสกัดแพร่ผ่านชั้นฟิล์มที่บริเวณผิวสัมผัสระหว่างวัสดุภาคเยื่อแผ่นเหลว กับวัสดุภายนอกสารละลายนำกลับ และถูกนำกลับไปอยู่ในวัสดุภายนอกสารละลายนำกลับ

$$J_s = k_s(C_s^* - C_s) \quad (3.20)$$

เมื่อ k_f และ k_s หาค่าจากสมการที่ (3.7)

D_e คือ ค่า effective diffusivity ที่หาได้จากความสัมพันธ์ของ Wilke-Chang ดังแสดงในสมการที่ (3.21)

$$D_e = \frac{D\varepsilon'}{\tau'} \quad (3.21)$$

$$D = 7.4 \times 10^{-8} \frac{(\varphi M_w)^{0.5} T}{\mu V_A^{0.6}} \quad (3.22)$$

จากสมมติฐานที่ สภาวะสมดุลเที่ยง ความเข้มข้นขององค์ประกอบที่ต้องการถอดในวัสดุภาคสารละลายป้อน วัสดุภาคเยื่อแผ่นเหลว และวัสดุภาคสารละลายนำกลับสามารถแสดงได้จากสมการ สมดุลมวลดังนี้

$$V_f C_{f0} + V_s C_{s0} = V_f C_f + V_s C_s + V_m C_m \quad (3.23)$$

$$C_m = C_f K_{ex} = C_s k_s \quad (3.24)$$

โดย V_m จะไม่ถูกนำมาพิจารณาตามสมมติฐานที่ว่าปริมาตรของเยื่อแผ่นเหลวมีขนาดเล็กมากเมื่อเปรียบเทียบกับปริมาตรของสารละลายป้อนและปริมาณของสารละลายนำกลับ ซึ่งผลการคำนวณที่ได้จากสมการคณิตศาสตร์ดังที่กล่าวไว้แล้วนั้น พบว่าสอดคล้องกับผลการทดลองที่ได้จากการถอดไอออนต่างๆ โดยใช้เยื่อแผ่นเหลวที่พยุงด้วยเส้นไยกวงในกลุ่มงานวิจัยของห้องปฏิบัติการวิจัยแยกมวลสารเป็นอย่างดี

3.4 การประยุกต์ใช้เยื่อแผ่นเหลวที่พยุงด้วยเส้นไยกวง ในการนำกลับไอออนสารหนูและproto

สารละลายนำกลับและสารถอดเหลาชนิดดีอีเป็นหัวใจสำคัญที่นำมาใช้ถอดไอออนสารหนูและproto โดย Iberhan และคณะทำการถอด AS(III) และ As(V) โดยใช้สารถอด Cyanex 925, Cyanex 301 และสารถอดแบบเสริมฤทธิ์ที่เป็นการผสมของสารถอดทั้งสองในอัตราส่วนต่างๆ ซึ่งจากการทดลองพบว่า Cyanex 301 สามารถถอด AS(III) ได้สูงกว่า As(V) ส่วนสารถอดแบบเสริมฤทธิ์จะทำการถอด As(V) ได้ดี และการใช้ Cyanex 925 เพียงชนิดเดียวพบว่าสามารถถอด As(V) ได้น้อยกว่า As(III) เล็กน้อย

Frabega และ Mansur ได้ศึกษาการถอด Hg(II) จากสารละลายกรดไฮโดรคลอริก โดยใช้สารถอด Aliquat 336 ละลายในน้ำมันก๊าด ผลที่ได้คือ ไอออนprotoถูกถอดออกเกือบทั้งหมดภายในเวลา 5 นาทีที่ค่าความเป็นกรด-neutrality กว่าหรือเท่ากับ 1 ซึ่งใช้ Thiouria เป็นสารละลายนำกลับ และได้ค่าเบอร์เซนต์การนำกลับเท่ากับ 99 เปอร์เซนต์ ต่อมา Chakrabarty และคณะ ศึกษา

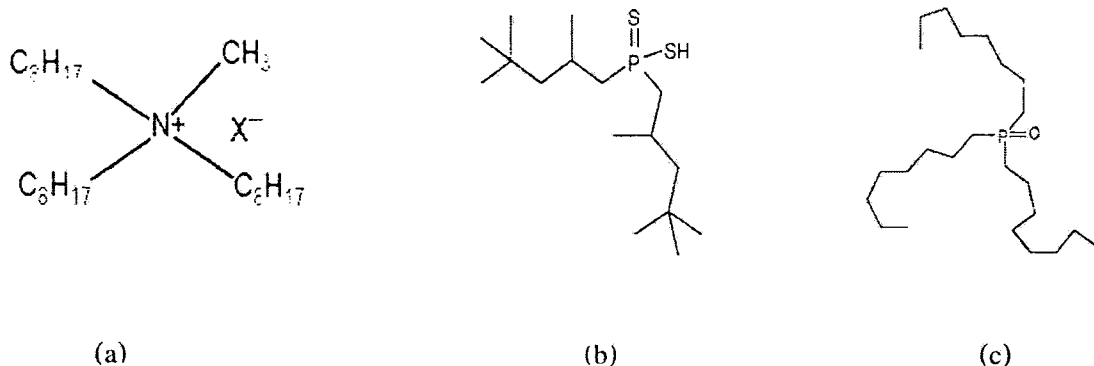
การสกัดไฮอนโปรดโดยใช้สารสกัด TOA พบว่า ไฮอนโปรดถูกสกัดออกจากสารละลายน้ำ ที่ปราศจากไฮอนชนิดอื่นๆ ได้ดีกว่าสารละลายน้ำที่มีลิโคโนซัลโฟเนทละลายอยู่

จากการวิจัยที่ผ่านมาพบว่ากลุ่มวิจัยของ Pancharoen ได้ประสบความสำเร็จในการแยกไฮอนสารนูและปรอทจากการใช้เยื่อแผ่นเหลวที่พยุงด้วยเส้นไยกวาง โดย Sangtumrong และคณะ ได้ทำการสกัดไฮอนสารนูและปรอทออกมารั่วมๆ กันจากสารละลายคลอร์ไรด์ โดยใช้เยื่อแผ่นเหลวที่พยุงด้วยเส้นไยกวาง และใช้ TOA ที่ละลายในไฮอนเป็นสารสกัด ส่วนโซเดียมไฮดรอกไซด์ใช้เป็นสารละลายน้ำกลัน ต่อนา Prapasawat และคณะ ทำการสกัด AS(III) และ AS(V) จากสารละลายชัลเฟต์ด้วยสารสกัด Cyanex 923 ที่ละลายในไฮอน และโซเดียมน้ำเป็นสารละลายน้ำกลัน ในปีเดียวกัน Uedee และคณะ ได้ศึกษาการสกัดแยกไฮอนโปรดโดยใช้สารสกัด TOA ละลายในน้ำมันก้าด และโซเดียมไฮดรอกไซด์เป็นสารละลายน้ำกลัน พบว่าได้ค่าเบอร์เซ็นต์การสกัดและค่าเบอร์เซ็นต์การนำกลับเท่ากัน 100 และ 97 เบอร์เซ็นต์ตามลำดับ ซึ่งล่าสุด Pancharoen และคณะ ศึกษาการแยกไฮอนสารนูและปรอทออกจากน้ำทึ้งในหลุมขุดเจาะปีโตรเลียมที่บริเวณอ่าวไทยโดยใช้ระบบเยื่อแผ่นเหลวที่พยุงด้วยเส้นไยกวาง และใช้สารสกัด Aliquat 336 ละลายในน้ำมันก้าด พบว่าสามารถสกัดไฮอนสารนูออกจากน้ำทึ้งที่ไม่มีไฮอนปรอทบนเบื้องอยู่ได้ 91 เบอร์เซ็นต์ เมื่อพิจารณาจากงานวิจัยข้างต้น สามารถแบ่งชนิดของไฮอนที่ถูกสกัดได้เป็น 3 หัวข้ออย่างได้ดังนี้

- 1) การสกัดไฮอนสารนู
- 2) การสกัดไฮอนปรอท
- 3) การสกัดไฮอนสารนูและปรอทพร้อมกัน

3.4.1 การเลือกผ่านไฮอนสารนู

สารสกัดอินทรีย์ได้ถูกค้นคว้าจากนักวิจัยจำนวนมากเพื่อนำมาใช้ในการสกัดไฮอนสารนูออกจากน้ำสังเคราะห์ ซึ่งสารสกัดที่ใช้ได้แก่ Cyanex 301, Cyanex 923 และ Cyanex 925 และสารสกัดแบบเสริมฤทธิ์ของ Cyanex 301 กับ Cyanex 925 นอกจากนี้ยังใช้สารสกัดชนิดอื่นๆ อีก ได้แก่ สารสกัด TBP, Hydrophobic glycol และ Hydroxamic acid เพื่อสกัด As(III) และ As(V) ออกจากสารละลายกรดชัลฟิวเริกโดยใช้ระบบเยื่อแผ่นเหลวที่พยุงด้วยเส้นไยกวาง พบว่า Cyanex 301 สามารถสกัด As(III) ได้ดีกว่า As(V) ส่วน Cyanex 925 และ Cyanex 923 จะเหมือนกับการสกัดทั้ง As(V) และ As(III)



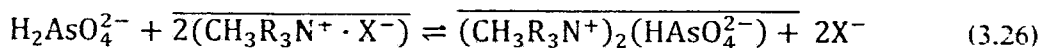
รูปที่ 3.6 โครงสร้างทางเคมีของสารสกัดอินทรีย์ โดย (a) คือ Aliquat 336, (b) คือ Cyanex 301 และ (c) คือ Cyanex 923 (Mohapatra และ Manchanda, 2008)

ไอออนสารหนูที่พบในน้ำทึ้งส่วนมากอยู่ในรูปของ As(III) และ As(V) โดยทั่วไป As(III) จะอยู่ในรูปสารประกอบเชิงช้อน (H_3AsO_3 และ $H_2AsO_3^-$) ส่วน As(V) จะพบอยู่ในรูปของ H_3AsO_4 , $H_2AsO_4^-$, $HAsO_4^{2-}$ และ AsO_4^{3-} แต่สำหรับน้ำทึ้งในหมุนบุดจะเป็นต่อเริ่มที่บริเวณอ่าวไทยนั้น As(III) จะอยู่ในรูปที่ไม่มีประจุ คือ H_3AsO_3 และสารหนู As(V) จะอยู่ในรูปของสารประกอบเชิงช้อนที่มีประจุลบ $H_2AsO_4^-$ และ $HAsO_4^{2-}$ สำหรับน้ำทึ้งจากหมุนบุดจะเป็นต่อเริ่มบริเวณอ่าวไทยส่วนใหญ่จะพบสารหนูอยู่ในรูปของ As(V) ที่มีความเป็นกรด-鹼สอยู่ในช่วง 6-6.5 สำหรับผลการศึกษาที่ใช้สารสกัดต่างชนิดกัน 3 ชนิดแสดงได้ดังต่อไปนี้

3.4.1.1 การสกัดไฮตอนสารหนูโดยใช้ Aliquat 336

Aliquat 336 เป็นสารสกัดที่สามารถทำปฏิกิริยาได้กับ ไอออนสารหนูที่มีประจุลบ ($H_2AsO_4^-$ และ $HAsO_4^{2-}$) และ ไอ้อนสารหนูที่ไม่มีประจุ (H_3AsO_3) โดยการถ่ายเทนมวลของ ไอ้อนสารหนูจะถูกขับเคลื่อนด้วยผลต่างความเข้มข้นของ ไออนไฮดรอกไซด์ OH^- ที่ถ่ายเทในทิศทางสวนกัน กับ ไอ้อนสารหนู และเพื่อให้ชัดเจนมากขึ้น จึงได้แสดงกลไกการถ่ายเทนมวล ในรูปที่ 3.7 ด้วย ส่วนการสกัด $H_2AsO_4^-$ ด้วยสารสกัด Aliquat 336 สามารถแสดงปฏิกิริยาการสกัดและนำกลับได้ ดังสมการที่ (3.25)-(3.30) จากปฏิกิริยาการสกัดสามารถอธิบายได้ว่า ไอ้อนสารหนูจะเข้าไปแทนที่ X^- ในวัตถุภาคเยื่อแผ่นเหลว และในปฏิกิริยาการนำกลับ ไอ้อนสารหนูจะเข้าไปแทนที่ OH^- ในวัตถุภาคสารละลายน้ำกลับ

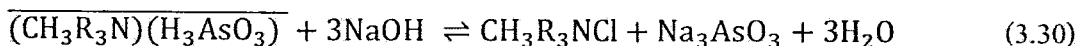
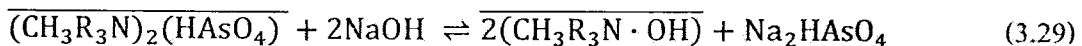
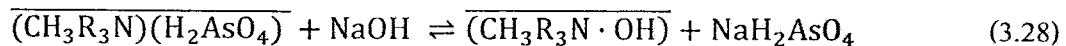
ปฏิกิริยาการสกัด ไอออนสารหนูที่มีประจุลบด้วย Aliquat 336



ปฏิกิริยาการสกัด ไอออนสารหนูที่ไม่มีประจุด้วย Aliquat 336



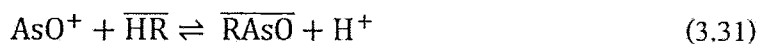
ปฏิกิริยาการนำกลับสารประกอบเชิงช้อนของ ไอออนสารหนูกับ Aliquat 336



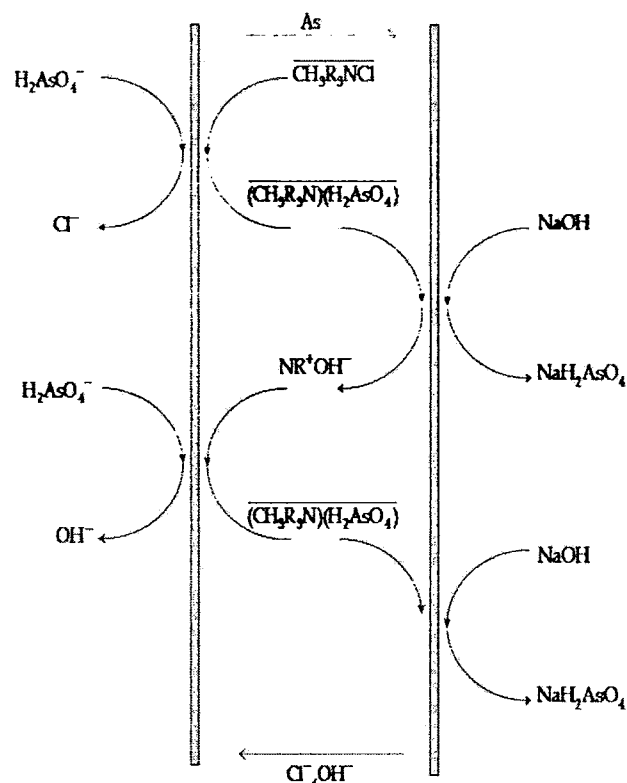
สำหรับการทดลองสกัด ไอออนสารหนูโดยระบบเยื่อแผ่นเหลวที่พยุงด้วยเส้นไอกลวงนั้น จะใช้สารสกัด Aliquat 336 ความเข้มข้น 0.75 มิลลาร์ และใช้โซเดียมไฮดรอกไซด์ความเข้มข้น 0.5 มิลลาร์เป็นสารละลายนำกลับ ซึ่งการสกัด ไอออนสารหนูด้วยวิธีนี้นับว่าประสบผลสำเร็จ เพราะสามารถสกัดแล้วเหลือ ไอออนสารหนูในน้ำทึบต่ำกว่าค่ามาตรฐานกำหนด (น้อยกว่า 250 ppb) โดยได้ปรอร์เซ็นต์การสกัดเท่ากับ 91 เปอร์เซ็นต์ และปรอร์เซ็นต์การนำกลับเท่ากับ 72 เปอร์เซ็นต์ หลังจากดำเนินระบบไป 3 รอบ

3.4.1.2 การสกัด ไอออนสารหนูโดยใช้ Cyanex 301

Cyanex 301 เป็นสารสกัดชนิดกรดอีกหนึ่งชนิดที่ถูกนำมาใช้ในการสกัด ไอออนสารหนูที่มีประจุบวก เช่น AsO^+ ซึ่งเกิดจากการละลายตัวของ H_3AsO_3 โดยกลไกการถ่ายเทนวลของ AsO^+ ที่ถูกสกัดด้วย Cyanex 301 แสดงได้ดังรูปที่ 3.8 และมีผลต่างความเข้มข้นของไฮดรอนีียม ไอออนเป็นแรงขับเคลื่อน จำกัดไกการถ่ายเทนวลจะเห็นว่าไฮดรอนีียม ไอออนเคลื่อนที่ในทิศทางสวนกันกับ ไอออนสารหนู สำหรับปฏิกิริยาการสกัดและการนำกลับอธิบายได้ดังสมการต่อไปนี้

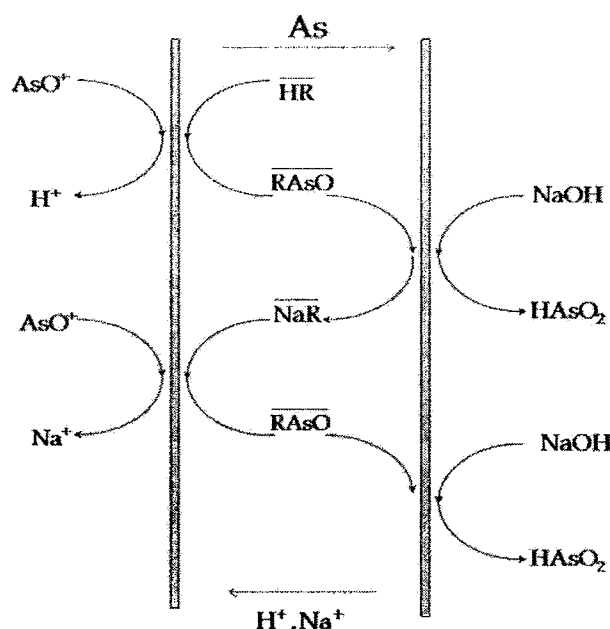


และจากผลการสกัด ไอออนสารหนูด้วย Cyanex 301 ในระบบเยื่อแผ่นเหลวที่พยุงด้วยเส้นไอกลวง นับพบร่วมกับได้ค่าปรอร์เซ็นต์การสกัดสูง แต่กลับได้ค่าปรอร์เซ็นต์การนำกลับต่ำ



รูปที่ 3.7 การถ่ายเทนวัลแบบคู่ควบของ H_2AsO_4^- โดยใช้ Aliquat 336

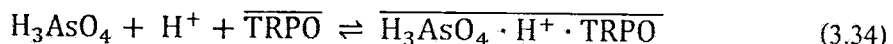
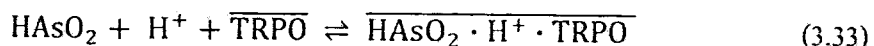
โดยสารเหตุที่ทำให้การนำกลับเกิดขึ้นได้น้อยนั้น เนื่องจากไอออนสารหนูสร้างพันธะที่แข็งแรงมากกับสารสกัด Cyanex 301 จึงทำให้การถ่ายพันธะเมื่อเกิดปฏิกิริยาข้อนกลับทางผิวสารละลายนำกลับเป็นไปได้ยาก ดังนั้นการเลือกใช้สารสกัด Cyanex 301 จึงไม่ได้รับความนิยมดังเหตุผลข้างต้น



รูปที่ 3.8 การถ่ายเทนวัลแบบคู่ควบของ AsO_4^{3-} โดยใช้ Cyanex 301

3.4.1.3 การสกัดไฮดรอฟาร์มูโดยใช้สารสกัด Cyanex 923 ที่เป็นสารสกัดชนิดกลาง

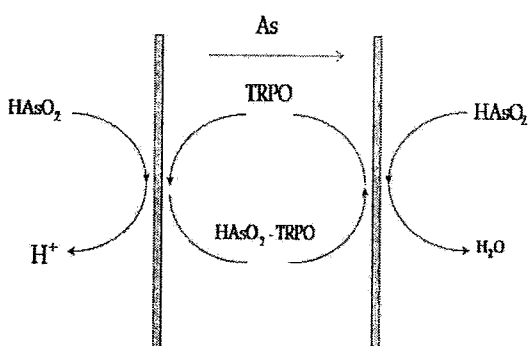
สารสกัด Cyanex 923 หรือ trialkylphosphine oxides (TRPO) เป็นสารสกัดชนิดกลางและมีความสามารถในการสกัดไฮดรอฟาร์มูที่ไม่มีประจุออกเจ้ามากที่สุด โดย As(III) จะอยู่ในรูปของ HAsO_2 และ As(V) จะอยู่ในรูปของ H_3AsO_4 ซึ่งปฏิกิริยาการสกัด As(III) และ As(V) แสดงได้ดังสมการที่ (3.33) และ (3.34) ตามลำดับ



และใช้น้ำเป็นสารละลายน้ำกลับ โดยปฏิกิริยาการนำกลับของ As(III) และ As(V) แสดงได้ดังสมการที่ (3.35) และ (3.36) ตามลำดับ



จากสมการที่ (3.33) และ (3.34) สามารถอธิบายได้ด้วยกลไกการถ่ายเทนวัตถุรูปที่ 3.9 สำหรับงานวิจัยที่เป็นกรณีศึกษานี้ได้ใช้สารสกัด Cyanex 923 ที่ละลายน้ำมันก้าดความเข้มข้น 30 เบอร์เซ็นต์โดยปริมาตร สกัดไฮดรอฟาร์มู และใช้น้ำเป็นสารละลายน้ำกลับ โดยจากผลการทดลองพบว่าสามารถสกัด As(III) และ As(V) ได้เบอร์เซ็นต์การสกัดเท่ากับ 38 และ 45 เบอร์เซ็นต์ตามลำดับซึ่งเห็นว่าได้เบอร์เซ็นต์การสกัดน้อย เนื่องจากในสารละลายน้ำมีไฮดรอฟาร์มูที่ไม่มีประจุอยู่น้อย จึงทำให้สารสกัด Cyanex 923 ที่มีคุณสมบัติในการสกัดไฮดรอฟาร์มูที่ไม่มีประจุเท่านั้น ทำการสกัดไฮดรอฟาร์มูที่ไม่มีประจุออกมайдันอยู่นั่นเอง



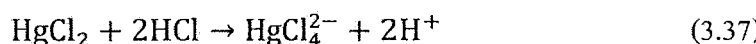
รูปที่ 3.9 กลไกการสกัด As(III) โดยใช้ Cyanex 923

จากผลการศึกษาสารสกัดหั้งสามชนิดต่อการสกัดไฮอ่อนสารหนูออกจากน้ำทึ้งในหมุนบุคเจาะที่บริเวณอ่าวไทยนั้น พบว่า Aliquat 336 ให้ค่าเปอร์เซ็นต์การสกัดและนำกลับสูงที่สุด ทั้งนี้เป็นเพราะว่าสารสกัดชนิดนี้สามารถทำปฏิกิริยาได้ทั้งไฮอ่อนสารหนูที่มีประจุลบ ($H_3AsO_4^-$, $HAsO_4^{2-}$) และที่ไม่มีประจุ (H_4AsO_4)

3.4.2 การเลือกผ่านที่อ่อนนุ่ม

ไอออนปรอทที่อยู่ในน้ำทึบจากหุ่มขุดจะจะส่วนใหญ่จะอยู่ในรูปของธาตุปรอท $Hg(0)$ ส่วนที่เหลือจะอยู่ในรูปของสารอนินทรี ($HgCl_2$) สำหรับการสกัด ไอออนปรอทในเบื้องต้นนี้ ได้ใช้วิธีนำบัดทางเคมีโดยการเติมสารออกซิเด็นซ์ลงไปเพื่อให้ไอออนปรอทดักตะกอนและรวมกันเป็นคานของแข็ง ซึ่งวิธีนี้จะมีประสิทธิภาพในกรณีที่ปรอทนิความเข้มข้นสูงๆ โดยไอออนปรอทที่ได้จะเปลี่ยนจากรูปของ $HgCl_2$ เป็น $Hg(II)$ ดังนั้นน้ำทึบที่ผ่านการนำบัดในเบื้องต้นแล้วจะยังคงมี $Hg(II)$ หลงเหลืออยู่ในปริมาณน้อย จึงนำไปสกัดต่อโดยใช้ระบบเยื่อแผ่นเหลวที่พยุงด้วยเส้นไอกลวง ซึ่งในการณีศึกษานี้ Uedee และคณะ ได้ทำการสกัดและนำกลับ $Hg(II)$ ออกจากน้ำทึบที่ผ่านการนำบัดแล้วและมีความเข้มข้นของ $Hg(II)$ ละลายน้อยอย่างเชิงจาง ได้มีประสิทธิภาพ โดยใช้ระบบเยื่อแผ่นเหลวที่พยุงด้วยเส้นไอกลวง นอกจากนี้ Sangtumrong และคณะ ศึกษาการสกัด $Hg(II)$ ออกจากสารละลายน้ำ ไวร์ค์ที่สังเคราะห์ขึ้น โดยใช้ระบบเยื่อแผ่นเหลวที่พยุงด้วยเส้นไอกลวงและใช้ TOA เป็นสารสกัด ต่อมมา Pancharoen และคณะก็ประสบผลสำเร็จในการสกัด ไอออนปรอทจากระบบเยื่อแผ่นเหลวที่พยุงด้วยเส้นไอกลวงด้วยเช่นกัน และผลการทดลองที่ได้ก่อผลลัพธ์ที่น่าสนใจวิจัยก่อนหน้า

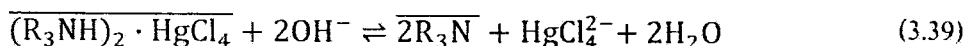
TOA เป็นสารสกัดชนิดเบส ซึ่งโครงสร้างไม่กุลแสดงไว้แล้วในรูปที่ 3.6 โดยจากการศึกษาพบว่าสารสกัด TOA ที่ละลายในทูโลอีนสามารถสกัดไอออกอนprotoHgCl₂ได้ค่อนข้าง แต่อ่อนย่างไรก็ตามหากในสารละลายป้อนมีไอออกอนprotoHgCl₂ ละลายอยู่ จำเป็นต้องเปลี่ยนไอออกอนดังกล่าวให้อยู่ในรูปที่มีประจุลบก่อนด้วยการเติมกรดไฮโดรคลอริก เพื่อให้สามารถทำปฏิกิริยา กับสารสกัดชนิดเบสได้ดี โดยปฏิกิริยาของไอออกอนprotoHgCl₂ กับกรดไฮโดรคลอริกแสดงได้ดังสมการที่ (3.37)



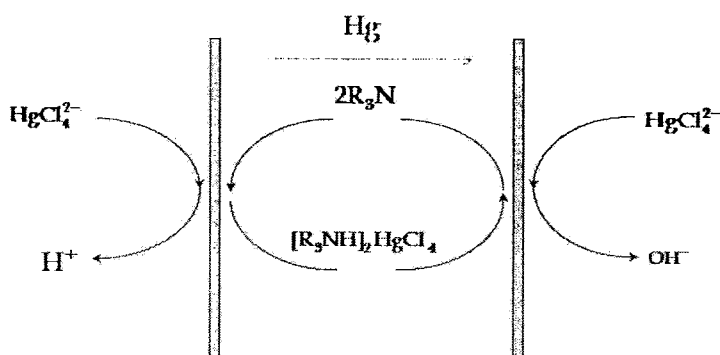
จากนั้น HgCl_4^{2-} จึงทำปฏิกิริยากับสารสกัด TOA (R_3N) เกิดเป็นสารประกอบเชิงซ้อนดังสมการที่ (3.38)



แล้วสารประกอบเชิงช้อนของ ไออ่อนprotothallate ผ่านวัสดุภาคเขื่อนแพ่นเหลวไปทางฝั่งวัสดุภาคสารละลายน้ำกลับด้วยแรงขับเคลื่อนของผลต่างความเข้มข้น และเข้าทำปฏิกิริยา กับ NaOH ที่เป็นสารละลายน้ำกลับ ทำให้ HgCl_4^{2-} ถูกปล่อยเข้าไปอยู่ในสารละลายน้ำกลับดังสมการที่ (3.39)



ส่วนสารสกัด TOA ก็จะแพร่กลับไปยังบริเวณผิวสัมผัสทางฝั่งสารละลายน้ำป้อน เพื่อกลับไปทำปฏิกิริยา กับ HgCl_4^{2-} อีกครั้ง และกลไกการถ่ายเทมวลของ Hg(II) ที่อยู่ในน้ำทึบผ่านวัสดุภาคเขื่อนแพ่นเหลวแสดงได้ดังรูปที่ 3.10



รูปที่ 3.10 การถ่ายเทมวลแบบควบคู่ไปในทิศทางเดียวกันของ HgCl_4^{2-} โดยใช้ TOA

โดยจากผลการทดลองในงานวิจัยของ Pancharoen และคณะที่สกัด ไออ่อนprotothallate ตีค่าความเป็นกรด-เบสของสารละลายน้ำป้อนเท่ากับ 2.5, ความเข้มข้นของ TOA เท่ากับ 2 เมอร์เซ็นต์โดยปริมาตร, ความเข้มข้นของ NaOH เท่ากับ 0.5 โนลาร์ และอัตราการไหลของสารละลายน้ำป้อน กับสารละลายน้ำกลับเท่ากับ 50 มิลลิลิตรต่อนาที พนิชสามารถสกัด ไออ่อนprotothallate ได้ปริมาณมาก ซึ่งมีค่าเบอร์เซ็นต์การสกัดและนำกลับเท่ากับ 99.8 และ 62 เปอร์เซ็นต์ตามลำดับ ภายในเวลา 300 นาที และได้รับการทำงานของระบบเท่ากับ 6 รอบ

3.4.3 การเลือกผ่าน ไออ่อนสารหมูและprotothallate กัน

น้ำทึบจากหลุมบุดเจาะปีโตรเลียมนี้จะมี As(V) อยู่ในรูปของ H_2AsO_4^- และ Hg(II) อยู่ในรูปของ HgCl_2 ดังนั้นความพยายามที่จะสกัด ไออ่อนสารหมูและprotothallate ออกจากน้ำทึบดังกล่าวจึงเป็น

ลิ่งสำคัญ และเพื่อให้ประสิทธิภาพการสกัด ไอออนเพิ่มสูงขึ้น จึงเลือกใช้การสกัดแบบเสริมฤทธิ์ (รายละเอียดการสกัดแบบเสริมฤทธิ์อธิบายไว้ในบทที่ 4) ที่เป็นการนำสารสารสกัดสองชนิด มาผสมกัน ซึ่งความสามารถในการเสริมฤทธิ์จะแสดงด้วยค่าสัมประสิทธิ์การเสริมฤทธิ์ (synergistic coefficient, R) ที่สัมพันธ์กับค่าสัมประสิทธิ์การกระจาย

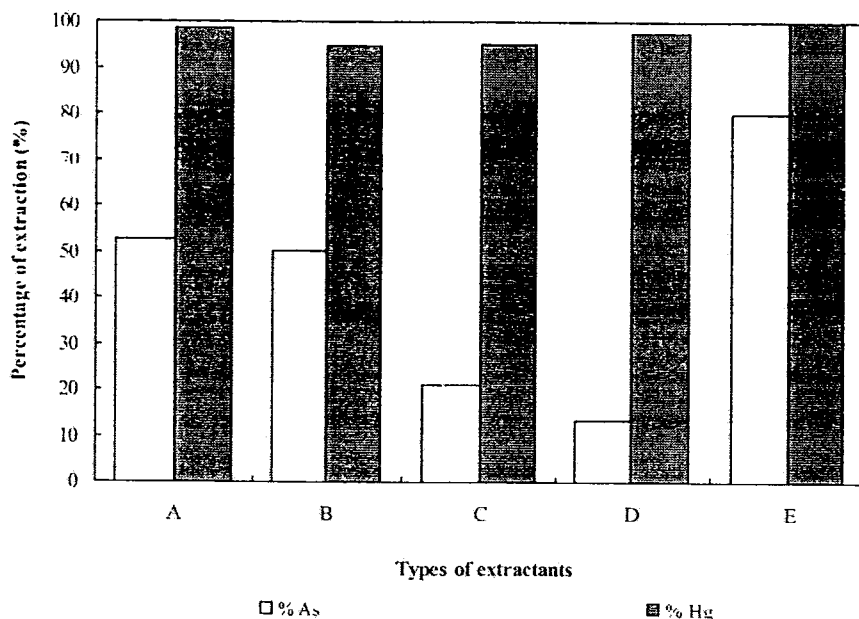
$$R = \frac{D_{\max}}{D_1 + D_2} \quad (3.40)$$

เมื่อ D_m คือค่าสัมประสิทธิ์การกระจายสูงสุดของ ไอออนที่ถูกสกัดด้วยระบบการสกัด แบบเสริมฤทธิ์ และ $D_1 + D_2$ คือผลรวมของค่าสัมประสิทธิ์การกระจายของ ไอออนที่ถูกสกัดด้วยสารสกัดแต่ละชนิด ซึ่งหากค่าสัมประสิทธิ์การเสริมฤทธิ์นี้ค่อนข้างย่อมเกิดการสกัดแบบเสริมฤทธิ์ได้ดี โดยจากรูปที่ 3.11 เป็นการเปรียบเทียบเปอร์เซ็นต์การสกัด ไอออนสารหนูและprotothrinax น้ำพื้นจากหลุมขุดเจาะปีตระเลียนในกรณีที่ใช้สารสกัดต่างชนิดกัน และจากผลการทดลองสามารถแสดง ประสิทธิภาพของสารสกัดแต่ละชนิด ได้โดยเรียงจากเปอร์เซ็นต์การสกัดมากไปหาน้อยดังนี้

As: Aliquat 336+Cyanex 471 > Aliquat 336 > Bromo-PADAP > Cyanex 471 > Cyanex 923,

Hg: Aliquat 336+Cyanex 471 > Aliquat 336 > Cyanex 923 > Bromo-PADAP \approx Cyanex 471

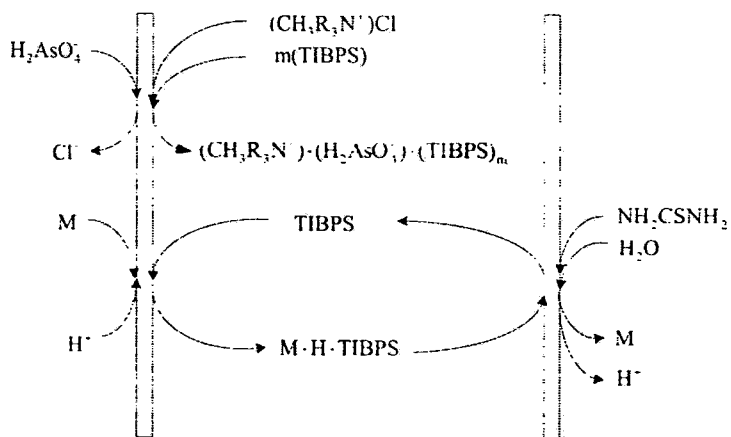
ซึ่งจากการทดลองที่ได้จะเห็นว่า การใช้สารสกัดแบบเสริมฤทธิ์ที่เป็นการผสมของสารสกัด Aliquat 336 ความเข้มข้น 0.22 มิลลิลิตร กับสารสกัด Cyanex 471 ความเข้มข้น 0.06 มิลลิลิตรนั้น ได้ให้ผลการสกัดสูงสุด และคำนวณค่าสัมประสิทธิ์การเสริมฤทธิ์ได้เท่ากับ 2.8 (มีค่ามากกว่า 1) จึงสรุปได้ว่าการสกัด ไอออนสารหนูและprotothrinax โดยใช้สารสกัด Aliquat 336 ผสมกับ Cyanex 471 จะเกิดการสกัดแบบเสริมฤทธิ์ สำหรับสาระลายน้ำกลับที่ใช้ในงานวิจัยสกัด ไอออนสารหนู และprotothrinax ได้แก่ โซเดียมไฮดรอกไซด์, น้ำที่ปราศจากไอออน (DI water), กรดไนโตริก, กรดซัลฟิวริก และไนโตริก



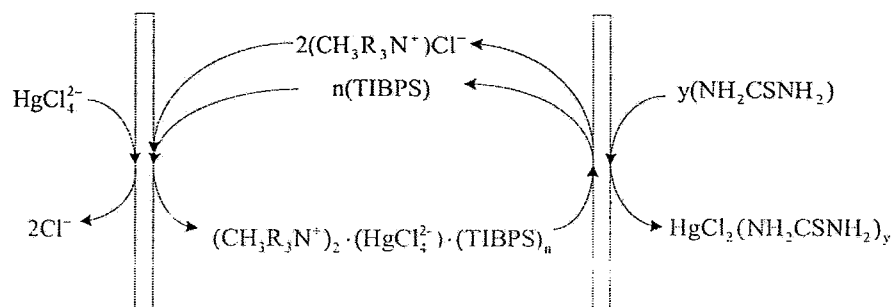
รูปที่ 3.11 แสดงความสัมพันธ์ระหว่างชนิดของสารสกัดกับปรอทเชิงตัวกรองสารหง่าน และปรอทออกจากน้ำทึ้ง (A) คือ Aliquat 336 ความเข้มข้น 0.22 โมลาร์, (B) คือ Bromo-PADAP ความเข้มข้น 0.22 โมลาร์, (C) คือ Cyanex 471 ความเข้มข้น 0.06 โมลาร์, (D) คือ Cyanex 923 ความเข้มข้น 0.51 โมลาร์ และ (E) คือ Aliquat 336 ความเข้มข้น 0.22 โมลาร์ ที่ผสมกับ Cyanex 471 ความเข้มข้น 0.06 โมลาร์

โดยในอยู่เริ่มมีประสิทธิภาพในการนำกลับไออกอนปรอทที่อยู่ในรูปของสารประกอบ เชิงช้อนกับสารสกัด Aliquat 336 ได้ดี และไม่มีปัญหาเกี่ยวกับการตกตะกอน ส่วนการนำกลับไออกอนสารหง่านด้วยน้ำนั้นพบว่ามีการศึกษาในงานวิจัยของ Prapasawat และคณะ สำหรับการใช้โซเดียมไฮดรอกไซด์ในการนำกลับไออกอนปรอทนั้น มักจะมีปัญหาเกี่ยวกับการตกตะกอน การอุดตัน และมีประสิทธิภาพในการนำกลับน้อย

สำหรับกลไกการถ่ายเทมวลของไออกอนสารหง่านและปรอทที่ใช้สารสกัดแบบเสริมฤทธิ์ของ Aliquat 336 กับ Cyanex 471 และใช้โซเดียมไฮดรอกไซด์เป็นสารละลายนำกลับนั้น แสดงได้ดังรูปที่ 3.12 และ 3.13 ตามลำดับ



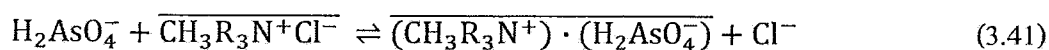
รูปที่ 3.12 กลไกการสกัดและการนำกลับของ H_2AsO_4^- โดยใช้สารสกัดแบบเสริมฤทธิ์ของ Aliquat 336 กับ Cyanex 471 และใช้โซเดียมไฮดรอกไซด์เป็นสารละลายนำกลับ



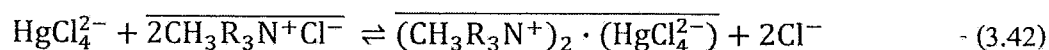
รูปที่ 3.13 กลไกการสกัดและการนำกลับของ HgCl_2 โดยใช้สารสกัดแบบเสริมฤทธิ์ของ Aliquat 336 กับ Cyanex 471 และใช้โซเดียมไฮดรอกไซด์เป็นสารละลายนำกลับ

โดยปฏิริยาการสกัดของไอออนสารหนูและprotoที่ว่ายสารสกัด Aliquat 336 จะเป็นไปตามสมการที่ (3.41)-(3.42)

As(V):

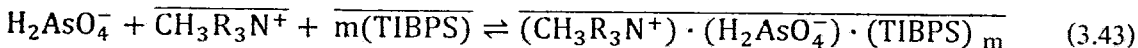


Hg(II):

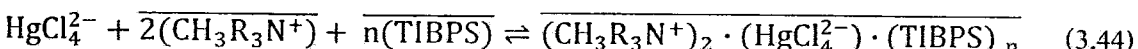


ส่วนปฏิกิริยาการสกัดของไอออนสารหนูและprotoที่ด้วยสารสกัดแบบเสริมฤทธิ์ของ Aliquat 336 กับ Cyanex 471 (TIBPS) จะเป็นไปตามสมการที่ (3.43)-(3.44)

As(V):



Hg(II):



เมื่อ m และ n คือ สัมประสิทธิ์ของปฏิกิริยา (stoichiometric coefficient) การสกัดไอออนสารหนู และprotoตามลำดับ ซึ่งคำนวณได้จากการสัมประสิทธิ์การกระจายของไอออนทั้งสองและการสกัดไอออนสารหนูที่ไม่มีประจุด้วยสารสกัด Cyanex 471 (TIBPS) แสดงได้ดังสมการที่ (3.45)

As(III และ V):



เมื่อ M แทน As(III) ที่อยู่ในรูปของ H_3AsO_3 และแทน As(V) ที่อยู่ในรูปของ H_3AsO_4

3.4.3.1 สัมประสิทธิ์การกระจายและค่าคงที่สมดุลการสกัด

จากการพิจารณาการถ่ายเทน้ำ สามารถหาค่าคงที่สมดุลการสกัด (extraction equilibrium constant, K_{ex}) ของไอออนสารหนูและprotoแสดงได้ดังสมการที่ (3.46) และ (3.47) ตามลำดับ

$$K_{ex,As} = \frac{[(\text{CH}_3\text{R}_3\text{N}^+) \cdot (\text{H}_2\text{AsO}_4^-) \cdot (\text{TIBPS})_m]}{[\text{H}_2\text{AsO}_4^-] [\text{CH}_3\text{R}_3\text{N}^+]^m} \quad (3.46)$$

$$K_{ex,Hg} = \frac{[(\text{CH}_3\text{R}_3\text{N}^+)_2 \cdot (\text{HgCl}_4^{2-}) \cdot (\text{TIBPS})_n]}{[\text{HgCl}_4^{2-}] [\text{CH}_3\text{R}_3\text{N}^+]^2 [\text{TIBPS}]^n} \quad (3.47)$$

และค่าสัมประสิทธิ์การกระจายของไอออนสารหนูและprotoที่ใช้สารสกัดแบบเสริมฤทธิ์ของ Aliquat 336 กับ Cyanex 471 แสดงได้ดังสมการที่ (3.48) และ (3.49) ตามลำดับ

$$D_{As} = \frac{[(CH_3R_3N^+) \cdot (H_2AsO_4^-) \cdot (TIBPS)_m]}{[H_2AsO_4^-]} = K_{ex,As} [CH_3R_3N^+] [TIBPS]^m \quad (3.48)$$

$$D_{Hg} = \frac{[(CH_3R_3N^+)_2 \cdot (HgCl_4^{2-}) \cdot (TIBPS)_n]}{[HgCl_4^{2-}]} = K_{ex,Hg} [CH_3R_3N^+]^2 [TIBPS]^n \quad (3.49)$$

สำหรับค่าสัมประสิทธิ์การกระจายของไออ่อนสารหนูและปรอทด้วยระบบเยื่อแผ่นเหลวที่พყงค์วายเส้นไขกลวงแสดงได้ดังตารางที่ 2 ซึ่งประมาณค่าได้จากสมการที่ (3.48) และ (3.49) ตามลำดับ ซึ่งการเพิ่มขึ้นของค่าสัมประสิทธิ์การกระจายย่อมแสดงให้เห็นถึงความสามารถในการสกัดที่เพิ่มขึ้น และค่าสัมประสิทธิ์การกระจายในตารางที่ 3.1 จะเพิ่มขึ้นตามค่าความเข้มข้นของ Cyanex 471 ที่เพิ่มขึ้น โดยค่าสัมประสิทธิ์การกระจายของไออ่อนสารหนูและปรอทจะมีค่าสูงสุดเมื่อค่าความเข้มข้นของ Cyanex 471 มีค่าเท่ากับ 0.06 โมลาร์ และ 0.07 โมลาร์ ตามลำดับ

ตารางที่ 3.1 ค่าสัมประสิทธิ์การกระจายของไออ่อนสารหนูและปรอทโดยใช้สารสกัดแบบ

เสริมฤทธิ์ของ Aliquat 336 กับ Cyanex 471 (ความเข้มข้นของ Aliquat 336 เท่ากับ 0.22 โมลาร์ และสารละลายน้ำกลับโซเดียมไฮดรอกไซด์ความเข้มข้น 0.5 โมลาร์)

ความเข้มข้นของ Cyanex 471 (โมลาร์)	ค่าสัมประสิทธิ์การกระจาย	
	ไออ่อนสารหนู	ไออ่อนปรอท
0.02	0.63	-
0.04	1.13	4.52
0.05	1.32	5.57
0.06	1.47	6.59
0.07	-	8.72

จากสมการที่ (3.48) และ (3.49) สามารถแสดงค่าสัมประสิทธิ์การกระจายของไออ่อนสารหนูและปรอทได้ใหม่ดังสมการที่ (3.50) และ (3.51)

$$\log D_{As} = \log(K_{ex,As} \cdot [CH_3R_3N^+]) + m \log[TIBPS] \quad (3.50)$$

$$\log D_{Hg} = \log(K_{ex,Hg} \cdot [CH_3R_3N^+]^2) + n \log[TIBPS] \quad (3.51)$$

โดยเลขสัมประสิทธิ์ของปฏิกิริยา (m และ n) ในสมการที่ (3.50) และ (3.51) สามารถหาค่าได้จากการพล็อตกราฟระหว่างค่า $\log D_{As}$ และ $\log D_{Hg}$ เทียบกับ $\log [TIBPS]$ แล้วอ่านค่าได้จากความชันของกราฟเส้นตรง จึงได้ค่า m เท่ากับ 0.7917 (ประมาณ 4/5) และได้ค่า n เท่ากับ 1 จากนั้นนำค่า m และ n แทนลงในสมการที่ (4.43) และ (4.44) ส่วนค่าคงที่สมดุลการสกัดของไออ่อน

ทั้งสองค่านวณได้จากสมการที่ (4.46) และ (4.47) โดยได้ค่าเท่ากับ 1,622 ลิตรต่ำโน้มล³ และ 62.7 ลิตรต่ำโน้มล^{9/5} ตามลำดับ ซึ่งจากค่าที่ได้แสดงให้เห็นว่าการสกัด ไอออนprotoจะเกิดขึ้นได้ดีกว่า ไอออนสารหมูและสอดคล้องกับผลการศึกษา

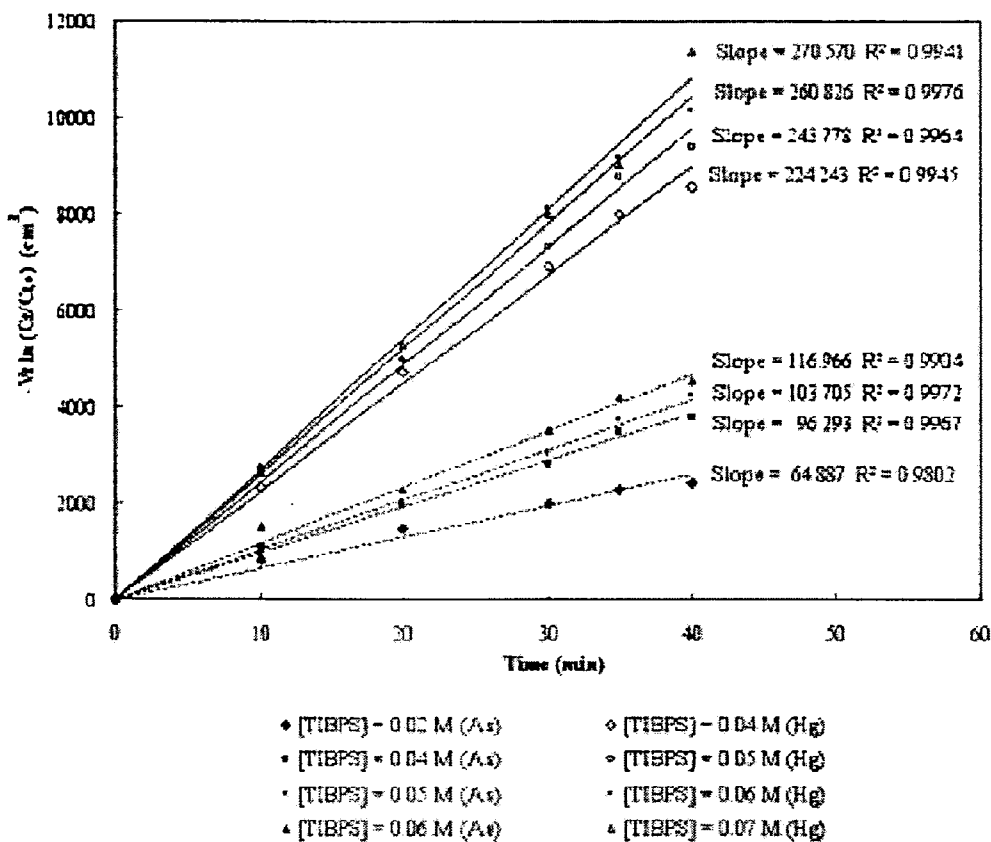
3.4.3.2 สัมประสิทธิ์การซึมผ่าน

ค่าสัมประสิทธิ์การซึมผ่าน (permeability coefficient, P) ของ ไอออนสารหมูและproto ที่ใช้สารสกัด Cyanex 471 สามารถคำนวณได้จากสมการที่ (3.13) และ (3.14) ภายใต้สภาวะ ความเข้มข้นของ Cyanex 471 เท่ากับ 0.02-0.07 โมลาร์ แล้วค่านวณค่าจากเทอม (AP $\beta/(\beta + 1)$) ที่ได้จากการชั้นของเส้นกราฟ ซึ่งพล็อตระหว่างเทอม $-V_f \ln(C_f / C_{f,0})$ กับเวลาดังแสดงในรูปที่ 3.14 และค่าสัมประสิทธิ์การซึมผ่านของ ไอออนสารหมูและprotoแสดงได้ดังตารางที่ 3.2 โดยจากตาราง แสดงให้เห็นว่าค่าสัมประสิทธิ์การซึมผ่านของ ไอออนprotoสูงกว่าค่าของ ไอออนสารหมู หรือ กล่าวอีกอย่างว่า ไอออนprotoถูกสกัดได้ดีกว่านั้นเอง

ตารางที่ 3.2 ค่าสัมประสิทธิ์การซึมผ่านของ ไอออนสารหมูและprotoโดยใช้สารสกัดแบบ

เติมฤทธิ์ของ Aliquat 336 กับ Cyanex 471 (ความเข้มข้นของ Aliquat 336 เท่ากับ 0.22 โมลาร์ และสารละลายน้ำกลันโซเดียมไฮดรอกไซด์ความเข้มข้น 0.5 โมลาร์)

ความเข้มข้นของ Cyanex 471 (โมลาร์)	$P \times 10^3$ (เซนติเมตรต่อวินาที)	
	ไอออนสารหมู	ไอออนproto
0.02	5.47	-
0.04	8.90	33.98
0.05	9.81	40.94
0.06	11.54	48.37
0.07	-	53.14



รูปที่ 3.14 การพลีอกราฟของเทอม $-V_t \ln(C_t/C_{t_0})$ ของไอออนสารหนูและprotoที่อยู่ในสารละลายน้ำกับเวลา ภายใต้สภาวะสารสกัดแบบเสริมฤทธิ์ที่มีค่าความเข้มข้นของ Cyanex 471 แตกต่างกัน และค่าความเข้มข้นของ Aliquat 336 เท่ากับ 0.22 มิลลาร์

3.4.3.3 สัมประสิทธิ์การถ่ายเทมวล

สมการที่ (3.52) และ (3.53) ถูกพิจารณาภายใต้สมมติฐานที่ปราศจากค่าความต้านทานการถ่ายเทมวลในวัสดุสารละลายน้ำกลับ เพื่อหาค่าสัมประสิทธิ์การถ่ายเทมวลของไอออนสารหนูและproto

$$\frac{1}{P_{As}} = \frac{1}{k_i} + \frac{r_i}{r_{lm}} \cdot \frac{1}{K_{ex,As} k_m [\text{CH}_3\text{R}_3\text{N}^+] [\text{TIBPS}]^{4/5}} \quad (3.52)$$

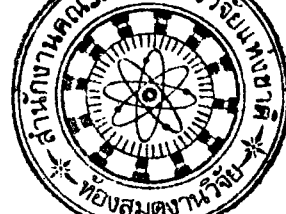
$$\frac{1}{P_{Hg}} = \frac{1}{k_i} + \frac{r_i}{r_{lm}} \cdot \frac{1}{K_{ex,Hg} k_m [\text{CH}_3\text{R}_3\text{N}^+]^2 [\text{TIBPS}]} \quad (3.53)$$

เมื่อ P_{As} และ P_{Hg} คือค่าสัมประสิทธิ์การซึมผ่านของไอออนสารหนูและprotothตามลำดับ โดยค่าสัมประสิทธิ์การถ่ายเทนวลดของไอออนสารหนูในวัตถุภาคเยื่อแผ่นเหลวและวัตถุภาคสารละลายน้ำกลับ (k_m และ k_f) สามารถหาค่าได้จากการพล็อตกราฟของเทอม $1/P_{Hg}$ เทียบกับเทอม $1/\left[\text{CH}_3\text{R}_3\text{N}^+\right][\text{TIBPS}]^{4/5}$ แล้วคำนวณจากค่าความชันของเส้นกราฟซึ่งจะเป็นค่าของเทอม $(r/r_m)(1/K_c k_m)$ และค่าจุดตัดเส้นกราฟที่จะเป็นค่าของเทอม $1/k_f$ ในทำนองเดียวกันการหาค่า k_m และ k_f ของไอออนprotothสามารถทำได้เช่นเดียวกับในการพิสูจน์ของไอออนสารหนู และจากผลการคำนวณที่ได้พบว่าค่าของ k_m จะมีค่ามากกว่าค่าของ k_f จึงสรุปได้ว่าการถ่ายเทนวลดในวัตถุภาคเยื่อแผ่นเหลวเป็นขั้นตอนควบคุมระบบการสกัดนี้

สัญลักษณ์และอักษรย่อ

A	พื้นที่ของเยื่อแผ่น (ตารางเซนติเมตร)
C	ความเข้มข้นในวัตถุภาคเยื่อแผ่น (ไมลต่อลูกบาศก์เซนติเมตร)
C_{aq}	ความเข้มข้นในวัตถุภาคสารละลายน้ำ (ไมลต่อลูกบาศก์เซนติเมตร)
C_f	ความเข้มข้นในวัตถุภาคสารละลายป้อน (ไมลต่อลูกบาศก์เซนติเมตร)
$C_{f,0}$	ความเข้มข้นเริ่มต้นในวัตถุภาคสารละลายป้อน (ไมลต่อลูกบาศก์เซนติเมตร)
C_f^*	ความเข้มข้นที่บริเวณพิวสัมผัสระหว่างวัตถุภาคสารละลายป้อนกับเยื่อแผ่นเหลว (ไมลต่อลูกบาศก์เซนติเมตร)
C_m	ความเข้มข้นในวัตถุภาคเยื่อแผ่นเหลว (ไมลต่อลูกบาศก์เซนติเมตร)
C_{fs}	ความเข้มข้นในวัตถุภาคสารละลายน้ำกลับ (ไมลต่อลูกบาศก์เซนติเมตร)
$C_{s,0}$	ความเข้มข้นเริ่มต้นในวัตถุภาคสารละลายน้ำกลับ (ไมลต่อลูกบาศก์เซนติเมตร)
C_s^*	ความเข้มข้นที่บริเวณพิวสัมผัสระหว่างวัตถุภาคเยื่อแผ่นเหลวกับสารละลายน้ำกลับ (ไมลต่อลูกบาศก์เซนติเมตร)
D	สัมประสิทธิ์การกระจาย
D_e	effective diffusivity (ตารางเซนติเมตรต่อวินาที)
D_o	สัมประสิทธิ์การกระจายในวัตถุภาคสารละลายป้อน (ตารางเซนติเมตรต่อวินาที)
HFSLM	เยื่อแผ่นเหลวที่พยุงด้วยเส้นไอกลวง
J	ฟลักซ์ (ไมลต่อตารางเซนติเมตรต่อวินาที)
J_f	ฟลักซ์จากการแพร่ผ่านชั้นพิล์มในวัตถุภาคสารละลายป้อน (ไมลต่อตารางเซนติเมตรต่อวินาที)
J_{m1}	ฟลักซ์จากการแพร่ผ่านบริเวณพิวสัมผัสทางผิววัตถุภาคสารละลายป้อน (ไมลต่อตารางเซนติเมตรต่อวินาที)

J_{m2}	ฟลักซ์จากการแพร่ผ่านบริเวณผิวสัมผัสทางผิวหนังในวัสดุภาคระลายน้ำกลับ (โนลต่อตารางเซนติเมตรต่อวินาที)
J_{r1}	ฟลักซ์จากปฏิกิริยาการสกัด (โนลต่อตารางเซนติเมตรต่อวินาที)
J_{r2}	ฟลักซ์จากปฏิกิริยาการนำกลับ (โนลต่อตารางเซนติเมตรต่อวินาที)
J_s	ฟลักซ์จากการแพร่ผ่านชั้นพิล์มในวัสดุภาคระลายน้ำกลับ (โนลต่อตารางเซนติเมตรต่อวินาที)
K_e	ค่าคงที่สมดุลของการสกัด
K_s	ค่าคงที่สมดุลของการนำกลับ
K_f	สัมประสิทธิ์การถ่ายเทนมวลแบบไร์หน่วยในวัสดุภาคระลายน้ำป้อน
K_s	สัมประสิทธิ์การถ่ายเทนมวลแบบไร์หน่วยในวัสดุภาคระลายน้ำกลับ
k_1	ค่าคงที่ของอัตราปฏิกิริยาไปข้างหน้าในวัสดุภาคระลายน้ำป้อน (เซนติเมตรต่อโมลาร์ต่อวินาที)
k_{-1}	ค่าคงที่ของอัตราปฏิกิริยาข้อนกลับในวัสดุภาคระลายน้ำป้อน (เซนติเมตรต่อโมลาร์ต่อวินาที)
k_2	ค่าคงที่ของอัตราปฏิกิริยาไปข้างหน้าในวัสดุภาคระลายน้ำกลับ (เซนติเมตรต่อโมลาร์ต่อวินาที)
k_{-2}	ค่าคงที่ของอัตราปฏิกิริยาข้อนกลับในวัสดุภาคระลายน้ำกลับ (เซนติเมตรต่อโมลาร์ต่อวินาที)
k_i	สัมประสิทธิ์การถ่ายเทนมวลในวัสดุภาคระลายน้ำป้อน (เซนติเมตรต่อวินาที)
k_s	สัมประสิทธิ์การถ่ายเทนมวลในวัสดุภาคระลายน้ำกลับ (เซนติเมตรต่อวินาที)
L	ความยาวของเส้นไอกลวง (เซนติเมตร)
I_{if} และ I_{is}	ความหนาของชั้นพิล์มในวัสดุภาคระลายน้ำป้อนและภาคระลายน้ำกลับ (เซนติเมตร)
M_{if}	มวลโมเลกุล (กรัมต่อมอล)
N	จำนวนของเส้นไอกลวงที่อยู่ในมดลูก
m, n	สัมประสิทธิ์ของปฏิกิริยา
P	สัมประสิทธิ์การซึมผ่าน (เซนติเมตรต่อวินาที)
Q_f	อัตราการไหลของภาคระลายน้ำป้อน (ลูกบาศก์เซนติเมตรต่อวินาที)
R	สัมประสิทธิ์การเสริมฤทธิ์
r_i	รัศมีภายในของเส้นไอกลวง (เซนติเมตร)
r_o	รัศมีภายนอกของเส้นไอกลวง (เซนติเมตร)
r_{lm}	รัศมี log-mean ของเส้นไอกลวง



T	อุณหภูมิสุทธิ (องศาเคลวิน)
V _A	ปริมาณโมลาร์ขององค์ประกอบที่ต้องการสกัดที่อุณหภูมิจุดเดือดของมัน (ลูกบาศก์ชนิดเมตรต่อโมล)
V _f	ปริมาตรสารละลายปีอน (ลูกบาศก์เซนติเมตร)
V _{f,0}	ปริมาตรเริ่มต้นของสารละลายปีอน (ลูกบาศก์เซนติเมตร)
V _m	ปริมาตรเยื่อแผ่นเหลว (ลูกบาศก์เซนติเมตร)
V _{s,0}	ปริมาตรเริ่มต้นของสารละลายนำกลับ (ลูกบาศก์เซนติเมตร)
V _s	ปริมาตรสารละลายนำกลับ (ลูกบาศก์เซนติเมตร)
X ₀	ความหนาของวัสดุภาคเยื่อแผ่นเหลว (เซนติเมตร)
ε	ความพรุนของเส้นใยกลวง (เปอร์เซ็นต์)
φ	association factor ของตัวทำละลาย
μ	ความหนืด (cp)

ตัวท้อຍ

aq	สารละลาย
f	วัสดุภาคสารละลายปีอน
m	วัสดุภาคเยื่อแผ่นเหลว
org	สารอินทรีย์
s	วัสดุภาคสารละลายนำกลับ

บทสรุป

กลไกการถ่ายเทนวลขององค์ประกอบที่ต้องการแยกผ่านเยื่อแผ่นเหลวจะเป็นการแพร่ซึมหรือการแพร่ซึมที่มีปฏิกิริยาเคมีและสารสกัดเข้ามาเกี่ยวข้อง สำหรับกลไกการถ่ายเทนวลในเยื่อแผ่นเหลวที่พยุงด้วยเส้นใยกลวงจะมีทั้งการถ่ายเทนวลแบบง่ายที่เหมาะสมกับการสกัดองค์ประกอบที่เป็นกลาจ และการถ่ายเทนวลแบบควบคู่ที่เหมาะสมกับการสกัด ไอออนชั่ง ได้ยกตัวอย่างการสกัด ไอออนสารหนูและprotoที่มีความเข้มข้นต่ำๆ จากน้ำทึบในหลุมขุดเจาะ ปิโตรเลียม ทึบในกรดที่ใช้สารสกัดชนิดเดียวหรือสารสกัดแบบเสริมฤทธิ์ โดยเยื่อแผ่นเหลวที่พยุงด้วยเส้นใยกลวงสามารถถักดัดและนำกลับได้โดยไม่สูญเสียสารสกัด แต่ต้องย่างไรก็ตาม ประสิทธิภาพของการสกัด ไอออนสารหนูยังคงด้อยกว่าประสิทธิภาพของการสกัด ไอออนprotoซึ่งการสกัด ไอออนสารหนูจะต้องดำเนินการสกัดมากกว่าหนึ่งรอบ ส่วนสารสกัด Aliquat 336 จัดเป็นสารสกัดที่ดีสุด เนื่องจากสารสกัดชนิดนี้สามารถทำปฏิกิริยาได้ทั้ง ไอออนสารหนูที่อยู่ในรูปมีประจุ

และไม่มีประจุ สำหรับการสกัดแบบเสริมฤทธิ์ที่เป็นการผสมของสารสกัด Cyanex 471 กับสารสกัด Aliquat 336 นั้นสามารถสกัด ไอออนสารหนูและprotothokจากน้ำทึบได้ในเวลาเดียวกัน และสารละลายน้ำกลืนที่คิดว่าสุคคิอิโซซูเริช โดยจำนวนรอบที่ใช้ในการค่าเฉลี่นระบบเพื่อให้การสกัด ไอออนสารหนูและprotothokเกิดสูงสุดนั้นเท่ากับ 3 และ 1 รอบตามลำดับเมื่อเสร็จสิ้นจากการสกัด จะเหลือค่าความเข้มข้นของ ไอออนทั้งสองในน้ำทึบน้อยกว่าค่ามาตรฐานกำหนด สำหรับกลไกการถ่ายเทนวลของ ไอออนสารหนูและprotothokจะเริ่มจากวัฏจักรสารละลายป้อนไปยังวัฏจักรเยื่อแผ่นเหลว ซึ่งถูกอธิบายจากกฎของฟิล พร้อมทั้งศึกษาพารามิเตอร์ที่ใช้อธิบายการถ่ายเทนวลของ ไอออนสารหนูและprotothok ได้แก่ ค่าคงที่สมดุลของการสกัด (K_{ex}), สัมประสิทธิ์การกระจาย (D), สัมประสิทธิ์การซึมผ่าน (P), สัมประสิทธิ์การถ่ายเทนวลในวัฏจักรสารละลายป้อน (k_p) และค่าสัมประสิทธิ์การถ่ายเทนวลในวัฏจักรเยื่อแผ่นเหลว (k_m) โดยจากค่าพารามิเตอร์ดังกล่าวสามารถสรุปได้ว่าการถ่ายเทนวลในวัฏจักรเยื่อแผ่นเหลวเป็นขั้นตอนควบคุมระบบการสกัดนี้

คำถ้ามทัยนท

- 1) กลไกการถ่ายเทมวลผ่านเยื่อแผ่นเหลวเบ่งเป็นกี๊ชั้นตอนอะไรบ้าง
- 2) กลไกการถ่ายเทมวลแบบแพร์ซึ่มนิคิประภาคอะไรบ้าง
- 3) กลไกการถ่ายเทมวลแบบควบคู่คืออะไร
- 4) จงอธิบายหลักการทำงานของการแพร์ซึ่นที่มีการถ่ายเทมวลแบบสวนทาง (counter transport permeation)
- 5) จงอธิบายหลักการทำงานของการถ่ายเทมวลแบบควบคู่ (couple mass transport permeation)
- 6) การสกัดไออกอนสารหนูและprotothineเยื่อแผ่นเหลวที่พยุงด้วยเส้นไอกลวงเป็นปราภกการณ์ของการแพร์ผ่านแบบใดเพราเหตุใด
- 7) ระบบเยื่อแผ่นเหลวที่พยุงด้วยเส้นไอกลวงประกอบด้วยอะไรบ้าง
- 8) สัมประสิทธิ์การถ่ายเทมวลฉุกนำมานิใช้เพื่อจุดประสงค์ใดและสัมพันธ์กับปัจจัยใดบ้าง
- 9) เหตุใดค่าความด้านทานที่บริเวณผิวสัมผัสทางฝั่งสารละลายน้ำกลับจึงไม่ถูกนำมาพิจารณา
- 10) ค่าสัมประสิทธิ์การเสริมฤทธิ์คืออะไร และสัมพันธ์กับค่าพารามิเตอร์ใด หากค่าดังกล่าวเพิ่มขึ้นมีความหมายอย่างไร